



<https://publications.dainst.org>

iDAI.publications

DIGITALE PUBLIKATIONEN DES
DEUTSCHEN ARCHÄOLOGISCHEN INSTITUTS

Das ist eine digitale Ausgabe von / This is a digital edition of

Kose, Arno – Engels, Benjamin – Trümper, Monika

Zur Chronologie des antiken Thera. Sondagen am Apollon Karneios-Heiligtum und in der Straße 11

aus / from

Archäologischer Anzeiger, 2023/1

DOI: <https://doi.org/10.34780/394w-yxd5>

Herausgebende Institution / Publisher:
Deutsches Archäologisches Institut

Copyright (Digital Edition) © 2023 Deutsches Archäologisches Institut
Deutsches Archäologisches Institut, Zentrale, Podbielskiallee 69–71, 14195 Berlin, Tel: +49 30 187711-0
Email: info@dainst.de | Web: <https://www.dainst.org>

Nutzungsbedingungen: Mit dem Herunterladen erkennen Sie die Nutzungsbedingungen (<https://publications.dainst.org/terms-of-use>) von iDAI.publications an. Sofern in dem Dokument nichts anderes ausdrücklich vermerkt ist, gelten folgende Nutzungsbedingungen: Die Nutzung der Inhalte ist ausschließlich privaten Nutzerinnen / Nutzern für den eigenen wissenschaftlichen und sonstigen privaten Gebrauch gestattet. Sämtliche Texte, Bilder und sonstige Inhalte in diesem Dokument unterliegen dem Schutz des Urheberrechts gemäß dem Urheberrechtsgesetz der Bundesrepublik Deutschland. Die Inhalte können von Ihnen nur dann genutzt und vervielfältigt werden, wenn Ihnen dies im Einzelfall durch den Rechteinhaber oder die Schrankenregelungen des Urheberrechts gestattet ist. Jede Art der Nutzung zu gewerblichen Zwecken ist untersagt. Zu den Möglichkeiten einer Lizenzierung von Nutzungsrechten wenden Sie sich bitte direkt an die verantwortlichen Herausgeberinnen/Herausgeber der entsprechenden Publikationsorgane oder an die Online-Redaktion des Deutschen Archäologischen Instituts (info@dainst.de). Etwaige davon abweichende Lizenzbedingungen sind im Abbildungsnachweis vermerkt.

Terms of use: By downloading you accept the terms of use (<https://publications.dainst.org/terms-of-use>) of iDAI.publications. Unless otherwise stated in the document, the following terms of use are applicable: All materials including texts, articles, images and other content contained in this document are subject to the German copyright. The contents are for personal use only and may only be reproduced or made accessible to third parties if you have gained permission from the copyright owner. Any form of commercial use is expressly prohibited. When seeking the granting of licenses of use or permission to reproduce any kind of material please contact the responsible editors of the publications or contact the Deutsches Archäologisches Institut (info@dainst.de). Any deviating terms of use are indicated in the credits.

IMPRESSUM

Archäologischer Anzeiger

erscheint seit 1889/*published since 1889*

AA 2023/1 • 454 Seiten/*pages mit/with 436 Abbildungen/illustrations*

Herausgeber/*Editors*

Friederike Fless • Philipp von Rummel
Deutsches Archäologisches Institut
Zentrale
Podbielskiallee 69–71
14195 Berlin
Deutschland
www.dainst.org

Mitherausgeber/*Co-Editors*

Die Direktoren und Direktorinnen der Abteilungen und Kommissionen des Deutschen Archäologischen Instituts/
The Directors of the departments and commissions:

Ortwin Dally, Rom • Margarete van Ess, Berlin • Svend Hansen, Berlin • Kerstin P. Hofmann, Frankfurt a. M. •
Jörg Linstädter, Bonn • Dirce Marzoli, Madrid • Felix Pirson, Istanbul • Dietrich Raue, Kairo • Christof Schuler, München •
Katja Sporn, Athen

Wissenschaftlicher Beirat/*Advisory Board*

Norbert Benecke, Berlin • Orhan Bingöl, Ankara • Serra Durugönül, Mersin • Jörg W. Klinger, Berlin •
Sabine Ladstätter, Wien • Franziska Lang, Darmstadt • Massimo Osanna, Matera • Corinna Rohn, Wiesbaden •
Brian Rose, Philadelphia • Alan Shapiro, Baltimore

Peer Review

Alle für den Archäologischen Anzeiger eingereichten Beiträge werden einem doppelblinden Peer-Review-Verfahren durch internationale Fachgutachterinnen und -gutachter unterzogen. *All articles submitted to the Archäologischer Anzeiger are reviewed by international experts in a double-blind peer review process.*

Redaktion und Layout/*Editing and Typesetting*

Gesamtverantwortliche Redaktion/*Publishing editor:*

Deutsches Archäologisches Institut, Redaktion der Zentralen Wissenschaftlichen Dienste, Berlin
(<https://www.dainst.org/standort/zentrale/redaktion>), redaktion.zentrale@dainst.de

Für Manuskriptenreichungen siehe/*For manuscript submission, see:* <https://publications.dainst.org/journals/index.php/aa/about/submissions>

Redaktion/*Editing:* Dorothee Fillies, Berlin

Satz/*Typesetting:* le-tex publishing services GmbH, Leipzig

Corporate Design, Layoutgestaltung/*Layout design:* LMK Büro für Kommunikationsdesign, Berlin

Umschlagfoto/*Cover illustration:* Archive of the Archaeological Museum of Thessaloniki (Orestis Kourakis) © Archaeological Museum of Thessaloniki, Hellenic Ministry of Culture & Sports – Hellenic Organization of Cultural Resources Development

Druckausgabe/*Printed edition*

© 2023 Deutsches Archäologisches Institut

Druck und Vertrieb/*Printing and Distribution:* Dr. Ludwig Reichert Verlag Wiesbaden (www.reichert-verlag.de)

P-ISSN: 0003-8105 – ISBN: 978-3-7520-0762-6

Das Werk einschließlich aller seiner Teile ist urheberrechtlich geschützt. Eine Nutzung ohne Zustimmung des Deutschen Archäologischen Instituts und/oder der jeweiligen Rechteinhaber ist nur innerhalb der engen Grenzen des Urheberrechtsgesetzes zulässig. Etwaige abweichende Nutzungsmöglichkeiten für Text und Abbildungen sind gesondert im Band vermerkt. *This work, including all of its parts, is protected by copyright. Any use beyond the limits of copyright law is only allowed with the permission of the German Archaeological Institute and/or the respective copyright holders. Any deviating terms of use for text and images are indicated in the credits.*

Druck und Bindung in Deutschland/*Printed and bound in Germany*

Digitale Ausgabe/*Digital edition*

© 2023 Deutsches Archäologisches Institut

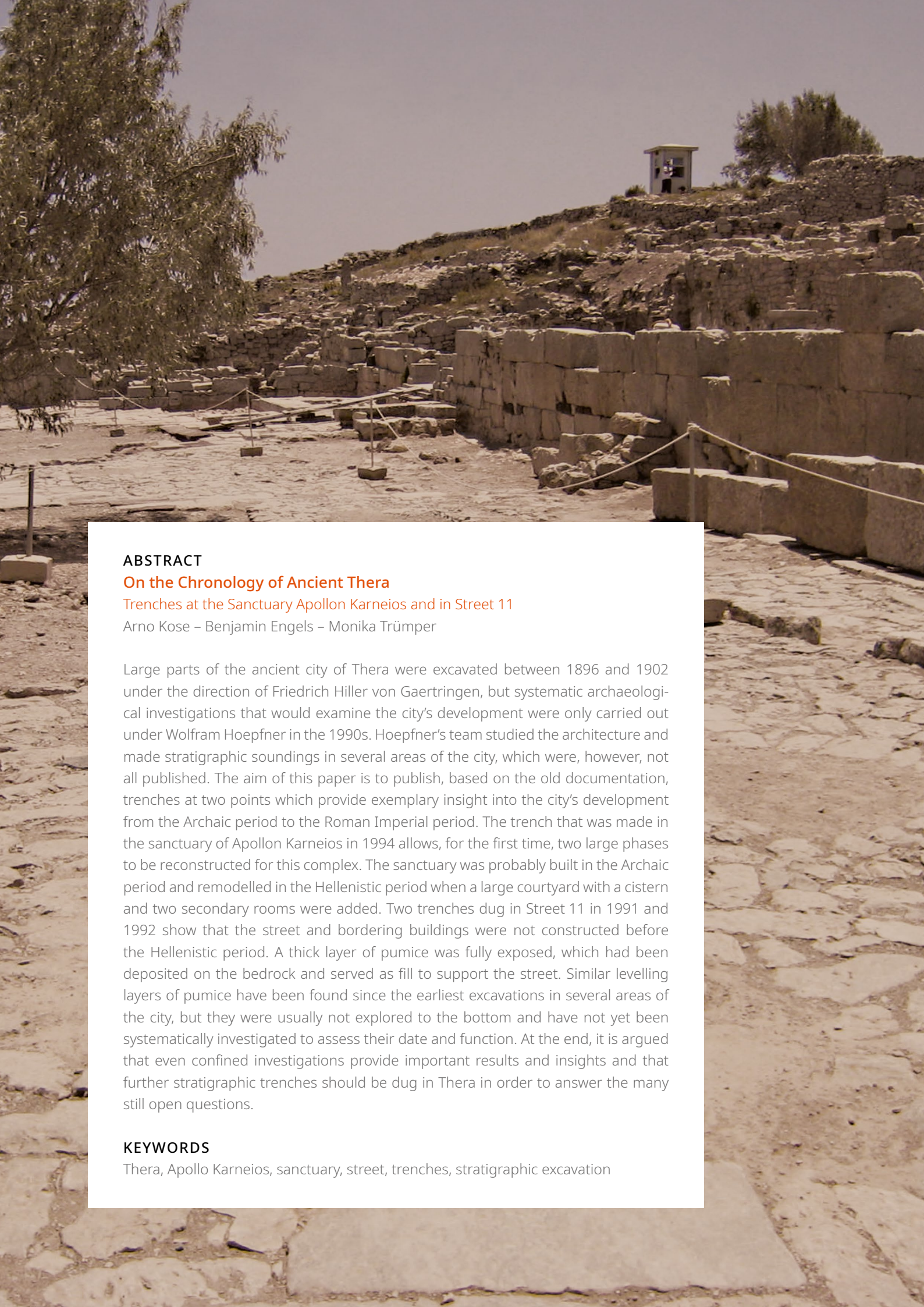
Webdesign/*Webdesign:* LMK Büro für Kommunikationsdesign, Berlin

XML-Export, Konvertierung/*XML-Export, Conversion:* digital publishing competence, München

Programmierung Viewer-Ausgabe/*Programming Viewer:* LEAN BAKERY, München

E-ISSN: 2510-4713 – DOI: <https://doi.org/10.34780/xyb3-a9yb>

Zu den Nutzungsbedingungen siehe/*For the terms of use see* <https://publications.dainst.org/journals/index/termsOfUse>



ABSTRACT

On the Chronology of Ancient Thera

Trenches at the Sanctuary Apollon Karneios and in Street 11

Arno Kose – Benjamin Engels – Monika Trümper

Large parts of the ancient city of Thera were excavated between 1896 and 1902 under the direction of Friedrich Hiller von Gaertringen, but systematic archaeological investigations that would examine the city's development were only carried out under Wolfram Hoepfner in the 1990s. Hoepfner's team studied the architecture and made stratigraphic soundings in several areas of the city, which were, however, not all published. The aim of this paper is to publish, based on the old documentation, trenches at two points which provide exemplary insight into the city's development from the Archaic period to the Roman Imperial period. The trench that was made in the sanctuary of Apollon Karneios in 1994 allows, for the first time, two large phases to be reconstructed for this complex. The sanctuary was probably built in the Archaic period and remodelled in the Hellenistic period when a large courtyard with a cistern and two secondary rooms were added. Two trenches dug in Street 11 in 1991 and 1992 show that the street and bordering buildings were not constructed before the Hellenistic period. A thick layer of pumice was fully exposed, which had been deposited on the bedrock and served as fill to support the street. Similar levelling layers of pumice have been found since the earliest excavations in several areas of the city, but they were usually not explored to the bottom and have not yet been systematically investigated to assess their date and function. At the end, it is argued that even confined investigations provide important results and insights and that further stratigraphic trenches should be dug in Thera in order to answer the many still open questions.

KEYWORDS

Thera, Apollo Karneios, sanctuary, street, trenches, stratigraphic excavation

Zur Chronologie des antiken Thera

Sondagen am Apollon Karneios-Heiligtum und in der Straße 11

Einleitung

¹ Die Entwicklung der antiken Stadt Thera hat in der Forschung lange Zeit relativ wenig Aufmerksamkeit erfahren. Die Stadt wurde zwar zwischen 1896 und 1902 unter Leitung von Friedrich Hiller von Gaertringen umfassend freigelegt, aber dies erfolgte weitgehend ohne Berücksichtigung der Stratigraphie und ohne Sondagen zur Erforschung der Geschichte.

² Die historische Entwicklung der Stadt wurde stattdessen wesentlich anhand schriftlicher Quellen rekonstruiert, in groben Zügen mit folgenden Eckdaten¹. Die Stadt wurde im 8. Jh. v. Chr. durch Dorer gegründet. Seit 430/429 v. Chr. war sie Mitglied im Attisch-Delischen Seebund und im 4. Jh. v. Chr. möglicherweise auch Mitglied im zweiten Attischen Seebund. Die Ptolemäer mögen schon zu Beginn des 3. Jhs. v. Chr. auf Thera präsent gewesen sein, als Ptolemaios I. 288/287 v. Chr. den Nesiotenbund übernahm, dem Thera eng verbunden war. In jedem Fall stationierten die Ptolemäer ab 265 v. Chr. auf Thera eine ständige Besatzung mit Garnison und Beamten und bis 146/145 v. Chr. war die Insel einer ihrer wichtigsten Flottenstützpunkte. Ab 145 v. Chr. liegen für rund 120 Jahre kaum historische Quellen vor, aber einige Inschriften werden in diese Zeit datiert, die zumindest die Existenz von Proxenoi und einer wohlhabenden städtischen Elite nahelegen. Am Ende des 1. Jhs. v. Chr. dürfte die Stadt schon in das römische Reich integriert gewesen sein, weil Octavian/Augustus 31/30 v. Chr. mit einem Altar und einer Statue geehrt wurde. Obwohl Thera in der Kaiserzeit zur Provinz Asia gehörte, ist keine dauerhafte oder temporäre Präsenz römischer Beamter inschriftlich oder literarisch nachgewiesen. Inschriften belegen aber weiterhin die Existenz einer finanzkräftigen lokalen Elite, die vor allem im 1./2. Jh. n. Chr. in der Stadt aktiv war und geehrt wurde. Die Ehrung und Verehrung der kaiserlichen Familie ist von der julisch-claudischen bis zur severischen Dynastie inschriftlich bezeugt. Für das 3. Jh. n. Chr. liegen deutlich weniger Zeugnisse vor, aber Thera wurde bis in mittelbyzantinische Zeit in Schriftquellen erwähnt und war sogar Bischofssitz.

¹ Witschel 1997; Kose u. a. 2022, 172–175.

- 12 Zeus-Höhle
- 13 Halle
- 14 Festplatz
- 15 Kirche Christos
- 16 Temenos des Artemidoros
- 17 Gouverneurs-Palast
- 18 Gymnasion der ptolemäischen Garnison
- 19 Eingang zur Agora der Kaiserzeit
- 20 Kaiserzeitliche Naiskoi
- 21 Mauern des byzantinischen Dorfes
- 22 Dionysos-Tempel mit Freitreppe
- 23 Basen der Agora
- 24 Agora mit Ehrenstatuen
- 25 Stoa Basilike
- 26 Sog. Agora-Thermen
- 27 Mithräum (?)
- 28 Spättrömisches Peristylhaus mit vielen Spolien
- 29 Phallos-Haus
- 30 Großes Peristylhaus
- 31 Hanghaus
- 32 Kapelle
- 33 Heiligtum für Isis, Sarapis und Anubis
- 34 Frühchristliche Kirche
- 35 Großes Peristylhaus
- 36 Theater
- 37 Hanghaus
- 38 Monument Platys Toichos
- 39 Grabhaus oder Heroon
- 40 Hexagonbau
- 41 Landhaus (?)
- 42 Häuser
- 43 Kultverein
- 44 Ptolemäer-Heiligtum
- 45 Thesauros (Opferstock)
- 46 Artemis-Säule
- 47 Polygonalmauerbau
- 48 Tempel des Apollon Karneios
- 49 Archaische Felsinschriften
- 50 Altar
- 51 Alter Festplatz
- 52 Große Stützmauer mit Inschriften
- 53 Sog. Gymnasion-Thermen
- 54 Gymnasion der Epeben
- 55 Höhle des Hermes und des Herakles
- 56 Felsinschriften
- 57 Rundbau



Abb. 1: Thera, Plan der Stadt (M. 1 : 3500)

3 Die meisten freigelegten Bauten und Monumente (Abb. 1) wurden sicher in der hellenistischen oder römischen Zeit errichtet, d. h. in einem Zeitraum von ca. 300/250 v. Chr. bis 200/250 n. Chr. Ferner gab es auch umfangreiche Bautätigkeiten in byzantinischer Zeit. Dagegen lassen sich nur sehr wenige Befunde sicher der archaischen oder klassischen Zeit zuweisen, allen voran Inschriften. Eine differenzierte Datierung und Kontextualisierung innerhalb der großen urbanistischen Ausbauphasen, also etwa innerhalb der archaischen oder hellenistisch-römischen Zeit, ist bislang für kaum einen Bau möglich². Ebenso wenig ist zu rekonstruieren, wie die Stadt in historischen Umbruchphasen transformiert wurde, wie etwa die Ptolemäer den Ort vorfanden, wie sie mit den existierenden älteren Bauten umgingen und welches urbanistische Konzept sie hatten und implementierten. Wann das heute sichtbare Straßennetz angelegt wurde oder wie umfassend Veränderungen in der römischen Kaiserzeit waren, kann allenfalls anhand punktueller Untersuchungen, d. h. anhand stratigraphischer Sondagen, geklärt werden.

4 Ziel dieses Artikels ist es, drei Sondagen an zwei zentralen Stellen im antiken Thera zu publizieren, die einen signifikanten Beitrag zur Rekonstruktion der urbanistischen Entwicklung liefern und das Potential selbst punktueller Untersuchungen veranschaulichen. Alle drei Sondagen gehen auf ein Projekt zurück, in dessen Rahmen von 1990 bis 1994 unter der Leitung Wolfram Hoepfners archäologische und architektonisch-urbanistische Grundlagenforschungen im antiken Thera durchgeführt wurden. Den Ausgangspunkt bildete die Überprüfung der verschiedentlich geäußerten These, dass sich das Stadtbild von der archaischen Zeit bis in die Spätantike kaum verändert habe³. Zu diesem Zweck wurde ein neuer Plan der Stadt erstellt, zudem wurden mehrere öffentliche und kultische Bauten umfassend untersucht und erstmals auch an verschiedenen Stellen systematisch stratigraphische Sondagen zur Klärung der Chronologie angelegt. Zu den detailliert untersuchten Bauten zählen u. a. die Basilike Stoa (Abb. 1; Nr. 25) an der Agora und das Apollon Karneios-Heiligtum an der »Agora der Götter« (Abb. 1; Nr. 48), die Arno Kose im Rahmen eines von Monika Trümper initiierten und von der Fritz Thyssen Stiftung sowie der Freien Universität Berlin großzügig finanzierten Projekts aufgearbeitet hat. Aus diesem Projekt, das im Folgenden »FU-Projekt« genannt wird, sollen vier Artikel hervorgehen, in denen jeweils die Sondagen an diesen Bauten und die Architektur diskutiert werden. Der vorliegende Beitrag ist der zweite Artikel in dieser Reihe, in dem die Sondagen am Apollon Karneios-Heiligtum sowie in der Straße 11 publiziert werden⁴.

5 Der erste Teil dieses Beitrags ist dem Apollon Karneios-Heiligtum gewidmet, für das zunächst Forschungsgeschichte, urbaner Kontext, Plan, Identifizierung und Probleme der Chronologie zusammengefasst werden, bevor die Sondage und die in ihr gefundene Keramik ausführlicher analysiert werden. Im zweiten Teil stehen die Sondagen in der Straße 11 im Vordergrund, die nach einer knappen Einleitung zu Straßen in Thera diskutiert werden. Jeder Teil endet mit einer Auswertung, und die wichtigsten Erkenntnisse beider Teile sowie Perspektiven für zukünftige Forschungen werden im abschließenden Fazit mit Blick auf ihren Beitrag zur Rekonstruktion der urbanistischen Entwicklung Theras resümiert.

2 Phasenpläne sind bislang nur für die Entwicklung der Agora vorgelegt worden; Giese – Kose 2006, 78 f. Abb. 2. 3; Sielhorst 2015, 132–136 Abb. 43–45.

3 Hoepfner 1997; zu den Zielen des Projekts ausführlich Kose u. a. 2022, 170–172.

4 Im ersten Artikel, Kose u. a. 2022, wurden die Sondagen an der Basilike Stoa publiziert. Im dritten und vierten Artikel wird Arno Kose jeweils die Architektur der beiden Bauten untersuchen. Hier wird mit Kose in Vorb. auf den Artikel zur Architektur des Apollon Karneios-Heiligtums verwiesen.

Apollon Karneios-Heiligtum

Forschungsgeschichte

6 Das Heiligtum wurde direkt zu Beginn der großen Grabungen im Jahr 1896 freigelegt und im ersten Band der Thera-Reihe mit einem Plan und mehreren Fotos publiziert⁵. Die Inschriften, die man im Bereich des Komplexes fand bzw. diesem zuwies, wurden in den *Inscriptiones Graecae* vorgelegt, aber die Inschriftenträger bzw. Monumente wurden nicht detailliert mit Zeichnungen und Fotos erfasst⁶. Auch die Skulpturenfunde, die im Heiligtum und in seinem Umfeld zutage traten, wurden nur summarisch beschrieben und nirgendwo abgebildet.

7 Nach der Freilegung wurden für lange Zeit keine weiteren Feldforschungen und Untersuchungen durchgeführt, und das Heiligtum fand insgesamt nur erstaunlich wenig Aufmerksamkeit in der Forschung⁷.

8 Im Rahmen des FU-Projekts wurde das Heiligtum 1992–1994 sukzessive oberflächlich gereinigt, um umfassende Bauforschungen und Vermessungen durchführen zu können. Die Befunde wurden beschrieben sowie zeichnerisch und photographisch dokumentiert. Ferner wurde erstmals ein Steinplan mit Niveauangaben erstellt (Abb. 2) und 1994 ebenfalls erstmals zur Klärung der Chronologie eine Sondage angelegt. Die Ergebnisse sollten ursprünglich zeitnah von Rainer Komp im Rahmen einer Dissertation aufgearbeitet und publiziert werden, was aber aus verschiedenen Gründen nicht realisiert werden konnte.

9 Zwischen 2000 und 2006 wurde das »Peripheral Corporate Program (PCP) of South Aegean« durchgeführt, in dessen Rahmen das 21. Ephorat für Prähistorische und Klassische Altertümer ein Projekt zu »Configuration and Emergence of the Archaeological Site of Ancient Thera« realisiert hat. Dabei fanden unter der Leitung von Maya Eustathiou auch umfangreiche und teilweise tiefgreifende Reinigungs- und Aufräumarbeiten im Heiligtum des Apollon Karneios statt⁸. Der Architekt Ioannis Bitis erstellte mit Hilfe der Zeichnerinnen Safiria Gouli und Konstantina Antziletou einen Steinplan des Tempels im Maßstab 1 : 50. Dieser wurde 2006 verkleinert publiziert, zusammen mit einigen Fotos von Antziletou und einem Text, der die vielfältigen neuen detaillierten Beobachtungen kontrastierend der alten Überblicksbeschreibung von Wilhelm Dörpfeld gegenüberstellte⁹. Im Vergleich zu dem Steinplan von 1992–1994 ergeben sich nur wenige Änderungen, die hier in den rekonstruierten Plänen (Abb. 3. 16) und im Text berücksichtigt werden¹⁰.

10 Trotz dieser neuen Arbeiten wurde das Heiligtum in jüngeren Untersuchungen und Handbuchbeiträgen zu frühen griechischen Heiligtümern auf den Kykladen oder in Griechenland generell nicht erwähnt¹¹.

5 Thera I, 275–283.

6 IG XII 3, 328. 335. 337. 384–387. 508. 513. 514. 520. 521; IG XII 3 Suppl., 1324.

7 Die Literatur ist aufgelistet in Eustathiou – Bitis 2006, 117 Anm. 7.

8 Eustathiou – Bitis 2006, 117 Anm. 8.

9 Vgl. Thera I, 275–283 mit Eustathiou – Bitis 2006, 117–126. Auf dem Steinplan Eustathiou – Bitis 2006, 118 Abb. 2 gibt es nur wenige Höhenangaben mit Bezug auf einen Nullpunkt, der auf der Schwelle zum Hof 6 liegt. Vgl. auch Bitis 2013.

10 Die Trennmauern zwischen den Räumen 1a und 1b sowie 7 und 8 und die Felsbettung für die nordwestliche Umfassungsmauer von Gang 5 waren nach den Reinigungen besser zu erkennen.

11 Vgl. etwa Hellmann 2006; Mazarakis Ainian 2016; aber auch Mazarakis Ainian 2017, eine den archaischen Heiligtümern der Kykladen gewidmete Publikation. Eine Ausnahme könnte die 2016 fertiggestellte Dissertation von Nicola Nenci zum Kult des Apollon Karneios im Mittelmeer bilden, die aber bislang nicht publiziert ist; Nenci 2016 (non vidimus).

Urbaner Kontext

11 Das Apollon Karneios-Heiligtum liegt an der Südspitze der antiken Stadt Thera, die sich als Sporn mit an drei Seiten steil abfallenden Hängen über dem Meer erhebt (Abb. 1). Auf der dem Wind abgewandten Südwestflanke des Berggrates flacht sich der Felsen ab, so dass hier ein ca. 23 m breiter und 90 m langer Platz angelegt werden konnte. Diese »Festplatz« genannte Fläche war von Nordwesten über die Hauptstraße der Stadt zugänglich und präsentiert sich heute folgendermaßen¹²: Der Platz wird im Nordwesten von dem sog. Polygonalmauerbau (Abb. 1; Nr. 47), im Norden vom Heiligtum des Apollon Karneios (Nr. 48) und im Nordosten vom Altar des Heiligtums (Nr. 50) flankiert sowie im Südwesten von einer mächtigen Terrassenmauer (Nr. 52) abgestützt. Auf der Terrasse unterhalb dieser Mauer befindet sich das Gymnasion der Epheben (Nr. 53–57). Die verschiedenen Bauten werden zwar unterschiedlichen Ausbauphasen der Stadt zugewiesen, aber die Chronologie ist bislang nicht in allen Details zu klären und Phasenpläne sind nicht vorgelegt worden.

12 In groben Zügen ist folgende Abfolge zu rekonstruieren¹³: Zu den frühesten Resten gehören zahlreiche in den Fels gravierte Inschriften mit Namen von Göttern und Personen, die in die Zeit vom 7. Jh. bis ins 6. Jh. v. Chr. datiert werden, sowie in den Fels gehauene Motivnischen. Wegen dieser Inschriften wird der Platz als »Agora der Götter« bezeichnet. Zahlreiche Inschriften und Nischen wurden aber überbaut, als man den Polygonalmauerbau errichtete und den Festplatz mit der hohen Terrassenmauer (Nr. 52) im Südwesten begrenzte und partiell durch Aufschüttungen nivellierte. Beide Maßnahmen werden, wie auch der Bau des Apollon Karneios-Heiligtums, gewöhnlich in die archaische Zeit datiert, ohne dass sich der Zeitraum aber sicher präziser eingrenzen ließe; für den Polygonalmauerbau und die Terrassenmauer ist eine spätere Datierung in die klassische Zeit durchaus denkbar, wenn nicht sogar wahrscheinlicher. Das Ephebengymnasion wurde wohl erst in der hellenistischen Zeit errichtet und in der römischen Kaiserzeit aus- und umgebaut.

Plan

13 Das Apollon Karneios-Heiligtum besteht aus einem langrechteckigen Komplex von 34,45 m × 9,15–12,80 m (Abb. 2. 3)¹⁴. Die beiden langen Außenmauern des Baus laufen nicht geradlinig durch, sondern verspringen partiell im Nordwesten und Südosten, um zusätzliche Räume (Abb. 2; Nr. 3) und breitere Räume (8) zu integrieren. Der Komplex ist von der südlich gelegenen »Agora der Götter« über einen breiten Eingang mit erhaltener Schwelle zugänglich, der in einen großen Hof (6) führt. An der Nordostseite des Hofes befindet sich eine 6,10 m × 1,55 m große und ca. 3 m tiefe rechteckige Zisterne, die mit Steinbalken bedeckt war. Der Hof fungierte als Verteilerraum mit Türen nach Südosten und Nordwesten. So führten zwei Türen nach Nordwesten zu Raum 4, der mit einem nach Nordosten geneigten Marmorsplitterboden ausgestattet war (Abb. 4. 5). Die Ausstattung und das Wassermanagement des gesamten Komplexes (s. u.) legen nahe, dass

12 Während die Bauten im Zentrum der Stadt genau nordsüdlich orientiert sind, weisen die Bauten am Festplatz eine Nordost-Südwest-Orientierung auf. Eustathiou – Bitis 2006, 118 Anm. 11 bezeichnen zur Erleichterung die Nordwest-Seite des Apollon-Karneios-Heiligtums als Norden, die Südwest-Seite als Westen, die Südost-Seite als Süden und die Nordost-Seite als Osten. Hier werden bei der Beschreibung des Baus die tatsächlichen Himmelsrichtungen verwendet; nur bei der Sondage 1994 A wird der Einfachheit halber das Nordwestprofil als Nordprofil und das Südostprofil als Südprofil bezeichnet.

13 Partiiell ist diese Abfolge schon älteren Publikationen zu entnehmen, so etwa die Abfolge von Inschriften und Polygonalmauerbau; Thera I, 283 f.; Thera III, 62–70; Inglese 2008, 23. Detaillierter wurde die Abfolge im Rahmen des FU-Projekts untersucht und rekonstruiert, dazu ausführlich Kose in Vorb.

14 Die knappe Beschreibung beruht auf Thera I, 275–293, den Feldforschungen des FU-Projekts in den 1990er Jahren sowie Eustathiou – Bitis 2006. Zur Architektur detailliert Kose in Vorb. Hier werden zwar einige Ergebnisse des FU-Projekts und von Koses Recherchen in den Abbildungen präsentiert, können aber an dieser Stelle nicht näher begründet werden.



4



5

Abb. 4: Apollon Karneios-Heiligtum, Pronaos 1b und Naos 1a von S

Abb. 5: Apollon Karneios-Heiligtum, Räume 4, 6–8 von W. Im Hintergrund oben rechts die Altarreste

dieser Raum nicht überdacht war. Von Raum 4 gelangte man einerseits zum wichtigsten Teil des Heiligtums, Raum 1a/b, der wohl durch eine kaum erhaltene Mauer in einen Vorraum (Pronaos 1b) und Hauptraum (Naos 1a) unterteilt war (Abb. 4). Der Hauptraum war vermutlich mit vier im Quadrat aufgestellten Stützen versehen, die das Dach gestützt haben mögen. Andererseits gelangte man in der Nordecke von Raum 4 zu einem ca. 1 m engen Gang (5), der um den Pronaos und den Naos im Nordosten und -westen herumführte. Zwei enge Türen verbanden den Naos 1a mit zwei kleinen, höher gelegenen Räumen im Südwesten (2 und 3). Schließlich gelangte man von Hof 6 nach Südosten in Raum 7 und über diesen in Raum 8 (Abb. 5). Nordöstlich der Ostfassade (M1a, M1aa, M1b, M1c) sind auf der Höhe des Hofes 6 Reste einer weiteren parallel verlaufenden Mauer (M2) dokumentiert worden, die eine ca. 2,80 m breite Terrasse begrenzte und stützte. Weiter nördlich sind die Reste einer stark verstürzten Stützmauer (M3) erhalten, deren Zusammenhang mit M2 aber nicht mehr zu ermitteln ist.

¹⁴ Raum 6 wurde einhellig als Hof gedeutet¹⁵. Während Raum 4 ursprünglich als Pronaos und Raum 1a/b als Naos identifiziert wurde¹⁶, haben Eustathiou und Bitis für Raum 1 überzeugend eine Unterteilung in Pronaos (1a) und Naos (1b) vorgeschlagen, in dem vermutlich eine Kultstatue stand¹⁷; Raum 4 wurde als unüberdachter Raum gedeutet¹⁸, aber warum

es zwischen dem Hof 6 und dem Pronaos 1a einen weiteren abgeschlossenen Hof gab, muss offenbleiben, zumal in keinem der beiden Höfe ein Altar gefunden wurde, also keiner der beiden nachweisbar für spezifische kultische Aktivitäten wie Opfer genutzt wurde. Für die Räume 7 und 8 wurde eine Nutzung als Wohnung der Priesterschaft, als Magazinräume oder als Schrein für Asklepios vorgeschlagen¹⁹, und für die kleinen Räume 2 und 3 die Funktion als Schatzkammern²⁰.

¹⁵ Man kann vorsichtig festhalten, dass der Komplex durch den Verteilerhof in zwei unterschiedliche Bereiche unterteilt wurde – den »inneren sakralen« Bereich mit Vorhof 4, Pronaos 1b und Naos 1a sowie den vielleicht eher funktionalen, profaneren Bereich mit der Raumgruppe 7–8. Beide Bereiche waren aber durch das Wasserma-

15 Thera I, 277. 282; Eustathiou – Bitis 2006, 121; Bitis 2013, 655 Abb. 7.

16 Thera I, 277 f.

17 Eustathiou – Bitis 2006, 122 f.

18 Bitis 2013, 644 Abb. 7.

19 Thera I, 283 Anm. 55.

20 Thera I, 281.

nagement des Baus konzeptionell und funktional verbunden²¹. Das Wasser vom Dach des Pronaos und Naos wurde in ein in den Felsen gehauenes Becken geleitet, das direkt westlich der Südecke des Pronaos lag (Abb. 2. 3). Von diesem Becken führte eine in den Felsen eingetiefte Rinne zu einem Setzbecken in der Westecke des Hofes 6, und von dort über einen unterirdischen Kanal direkt in die Zisterne.

16 Ein Altar, der für ein griechisches Heiligtum zentral ist, wurde nur außerhalb des Komplexes identifiziert, südöstlich von Raum 7 (Abb. 3). Anhand des erhaltenen Fundaments und der dem Altar zugewiesenen Quader kann er als ein Antenaltar von 3,85 m × 6,20 m Größe rekonstruiert werden, dessen Zugangstreppe sich auf die »Agora der Götter« öffnete. Der Altar ist auffällig abweichend vom Heiligtum des Apollon Karneios orientiert, aber ungefähr parallel zur Großen Terrassenmauer angelegt. Er könnte für zwei Heiligtümer verwendet worden sein: das Heiligtum des Apollon Karneios und den Polygonalmauerbau, der möglicherweise als Tempel für Zeus fungierte²².

Identifizierung

17 Die Verehrung des Apollon Karneios in Thera ist über literarische und epigraphische Quellen belegt²³. Eine berühmte Passage im hellenistischen Apollonhymnos des Kallimachos²⁴ besagt, dass Karneios zuerst in Sparta beheimatet war und dann zur Gründung nach Thera und von dort schließlich nach Kyrene übertragen wurde, als Thera wiederum diese Stadt 631 v. Chr. gründete. Daraus müsste man folgern, dass dieser Kult eigentlich schon vor 631 v. Chr. in Thera implementiert war.

18 Das älteste direkte Zeugnis für die Existenz des Karneiosfestes und damit auch des Apollon Karneios überhaupt auf Thera stammt aber erst aus der ersten Hälfte des 5. Jhs. v. Chr. Es handelt sich um die sog. Aglotelesinschrift²⁵, die jedoch nicht auf dem Stadtberg selbst, sondern jenseits der Sellada an der Zoodochos Pege in den Felsen geschrieben worden ist. Verschiedene Inschriften, die Statuenweihungen an Apollon Karneios dokumentieren und die Existenz eines Priesters des Apollon Karneios belegen, werden alle erst in die späthellenistische Zeit oder frühe Kaiserzeit datiert²⁶.

19 In einer neuzeitlichen Tenne, die sich noch bis 1896 über dem Marmor-splitterboden des Raumes 4 des Apollon Karneios-Heiligtums erstreckt hatte, wurde eine Inschrift aus dem 1. Jh. v. Chr. verbaut gefunden, die die Weihung der Statue eines Neokoros an die Götter durch den Priester des Apollon (Karneios) Theokleidas (Sohn des Admetos) dokumentiert²⁷. Weitere Inschriften wurden sowohl in der Tenne als auch in der Zisterne in Hof 6 freigelegt, die öffentliche Dokumente sowie Votive und private Weihungen umfassen²⁸.

20 Drei Basen wohl von Statuen wurden schon im 19. Jh. in einer Schlucht östlich unterhalb des Apollon Karneios-Heiligtums entdeckt; es handelt sich um die Schlucht Tu

21 Bitis 2013.

22 Auf die für diese Frage relevante relative Chronologie von Altar, Apollon Karneios-Heiligtum und Polygonalmauerbau kann hier nicht eingegangen werden; dazu Kose in Vorb.

23 Zu den relevanten Inschriften Thera I, 275. Zu Karneios G. Baudy, DNP s. v. Karneia, Karneios, Karnos, <<https://referenceworks.brillonline.com/entries/der-neue-pauly/karneia-karneios-karnos-e609380>> (13.06.2023); Nenci 2016 (non vidimus).

24 Kall. h. 2, 72–90.

25 IG XII 3 Suppl., 1324. Während Hiller von Gaertringen 1934, Sp. 2289 die Inschrift noch an den Anfang des 5. Jhs. v. Chr. datierte, favorisiert Inglese 2008, 19. 111. 147. 389 f. ein etwas späteres Datum, zwischen 480 und 450 v. Chr., Jeffery 1990, 319. 323 Nr. 16 folgend.

26 IG XII 3, 508. 513b. 514.

27 IG XII 3, 514; Thera I, 28.

28 IG XII 3, 328 (öffentlicher Brief, den ein hoher Repräsentant des Ptolemaios III. für Rat und Volk von Thera ausstellte, ca. Mitte 3. Jh. v. Chr.); 335 (Katalog mit Geldbeträgen, möglicherweise u. a. von Personen, die das Festmahl an den Karneen ausrichteten, ca. 200 v. Chr.); 337 (Liste wohl mit freigelassenen Sklaven, 2. Jh. v. Chr.); 384–387 (Fußumrisse mit Namen wohl aus der Kaiserzeit, die in der Zisterne und in ihrer Umgebung gefunden wurden); 521 (private Statuenweihung, tiberisch); 977 (Gewichtsstein, 6. Jh. v. Chr.).

Kywukliu unterhalb der Evangelismos-Kapelle (Abb. 1; Nr. 39). Es wurde angenommen, dass diese Basen ursprünglich im Apollon Karneios-Heiligtum aufgestellt waren und irgendwann nach der Auflassung des Heiligtums den Hang hinabgerollt sind²⁹. Diese These erhärtet sich, weil dieselbe Person, Asklepias, Tochter des Dorotheos, sowohl eine der Statuenbasen aus der Schlucht als auch eine Statuenbasis aus der Zisterne zusammen mit anderen aufgestellt hat³⁰.

21 Alle genannten beschrifteten Objekte könnten ursprünglich im Apollon Karneios-Heiligtum aufgestellt worden sein, etwa in den Höfen 4 und 6 oder auch in einem der geschlossenen Räume (etwa 7 oder 8). Sie belegen, dass das Heiligtum bis in die Kaiserzeit frequentiert wurde und eine gewisse Bedeutung hatte, weil hier möglicherweise öffentliche Dokumente aufbewahrt und präsentiert und Statuen von privaten Personen wie vom Demos geweiht wurden.

Chronologie

22 Obwohl die gerade erwähnten Inschriften die Nutzung des Heiligtums bis in die Kaiserzeit bezeugen, fehlen bislang eindeutige Belege für die Bauzeit des Heiligtums. Ein Gewichtsstein, der in der Zisterne gefunden und paläographisch ins 6. Jh. v. Chr. datiert wurde³¹, könnte zwar durchaus im Heiligtum genutzt, aber auch zu einem späteren Zeitpunkt dorthin gebracht worden sein.

23 Für die Bauzeit des Heiligtums fehlen sichere archäologische und schriftliche Belege. In der Forschungsliteratur ist das Heiligtum gewöhnlich wegen der Typologie und des Mauerwerks in die archaische Zeit datiert worden, aber eine präzisere chronologische Einordnung ist derzeit nicht möglich. Es ist nicht zu klären, ob das Heiligtum bereits vor der Gründung Kyrenes, d. h. spätestens um die Mitte des 7. Jhs. v. Chr. errichtet wurde³²; oder erst im 6. Jh. v. Chr.³³; oder erst zu Beginn des 5. Jhs. v. Chr., kurz bevor die Aglotelesinschrift (IG XII 3 Suppl., 1324) graviert wurde, als vermutlich der Festplatz nivelliert und der Polygonalmauerbau über älteren Inschriften gebaut wurde; oder zu einem noch späteren Zeitpunkt.

24 Der Kern des Heiligtums mit den Räumen 1a/1b kann mit den sog. Oikos-Tempeln verglichen werden, die in der griechischen Welt von der Mitte des 8. Jhs. v. Chr. bis zum 6. Jh. v. Chr. besonders populär waren, aber auch noch deutlich später errichtet wurden³⁴. Die an der Front geschlossenen Oikos-Tempel waren bevorzugt langrechteckig und wiesen ein bis drei Räume auf. Das gewöhnlich flache Dach konnte von Stützen getragen werden. Im 6. Jh. v. Chr. häuften sich Satteldächer.

25 Typologische Vergleiche legen folglich nahe, dass das Apollon Karneios-Heiligtum durchaus schon im 7. Jh. v. Chr. entstanden sein könnte, aber sie können diese Datierung nicht sicher erhärten. Oikos-Tempel sind gewöhnlich freistehende Bauten und nicht integriert in Komplexe mit Höfen und mehreren Räumen, wie es das Apollon

29 Thera III, Plan I: Die Schlucht und Lage von Inschriften sind markiert. Die Inschriften befanden sich 1990 noch in situ und sollen in Kose in Vorb. ausführlicher diskutiert werden. IG XIII 3, 508 (private Weihung einer Statue [?] an Apollon Karneios, 1. Jh. v. Chr.); 513a und b (a: Weihung des Demos von Thera zu Ehren einer Priesterin, augusteisch-tiberische Zeit; b: private Weihung einer Statue [?] an Apollon Karneios, 1. Jh. v. Chr.); 520 (private Statuenweihung, 1. Jh. n. Chr./tiberische Zeit).

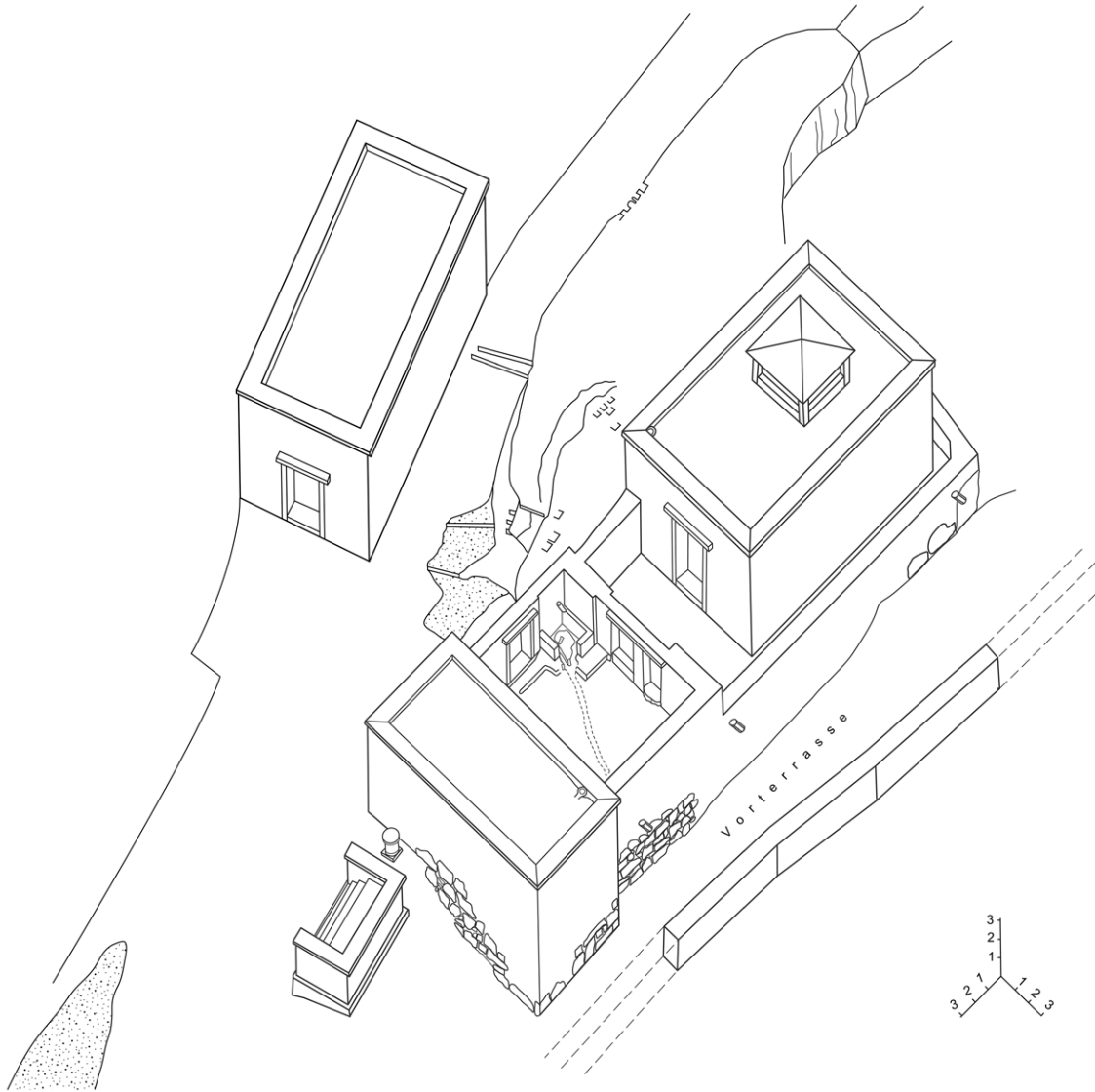
30 IG XII 3, 520. 521.

31 IG XII 3, 977.

32 So etwa Hiller von Gaertringen 1937, 54–59; Eustathiou – Bitis 2006, 117 Anm. 6.

33 So noch Thera III, 69.

34 Die knappe Zusammenfassung beruht auf Hellmann 2006, 50–56; Mazarakis Ainian 2016.



6

Karneios-Heiligtum darstellt³⁵. Kleine Räume seitlich am Oikos-Tempel sind ebenfalls sehr selten³⁶, auch wenn ihr Vorhandensein im Karneios-Heiligtum mit der spezifischen topographischen Situation, d. h. der Nutzung von Restterrain zwischen Felsen und Naos, erklärt werden kann. Eine hypothetische Rekonstruktion des Heiligtums veranschaulicht, wie ungewöhnlich es sich in seinem letzten fassbaren Zustand präsentierte, gerade auch im Vergleich zum benachbarten Polygonalmauerbau sowie im Verhältnis zum Antenaltar, dessen Zugänglichkeit und Sichtbarkeit durch den südlichen Teil des Apollon Karneios-Heiligtums maßgeblich beeinträchtigt wurden (Abb. 6).

26 Einzelne Elemente am Bau sind als spätere Ergänzungen identifiziert worden, allen voran der Marmorsplitterboden in Raum 4, der einhellig in die hellenistische Zeit datiert wurde³⁷. Aber darüber hinaus ist die Baugeschichte des Komplexes nicht näher

Abb. 6: Apollon Karneios-Heiligtum und Umgebung, hypothetische Rekonstruktion, Axonometrie

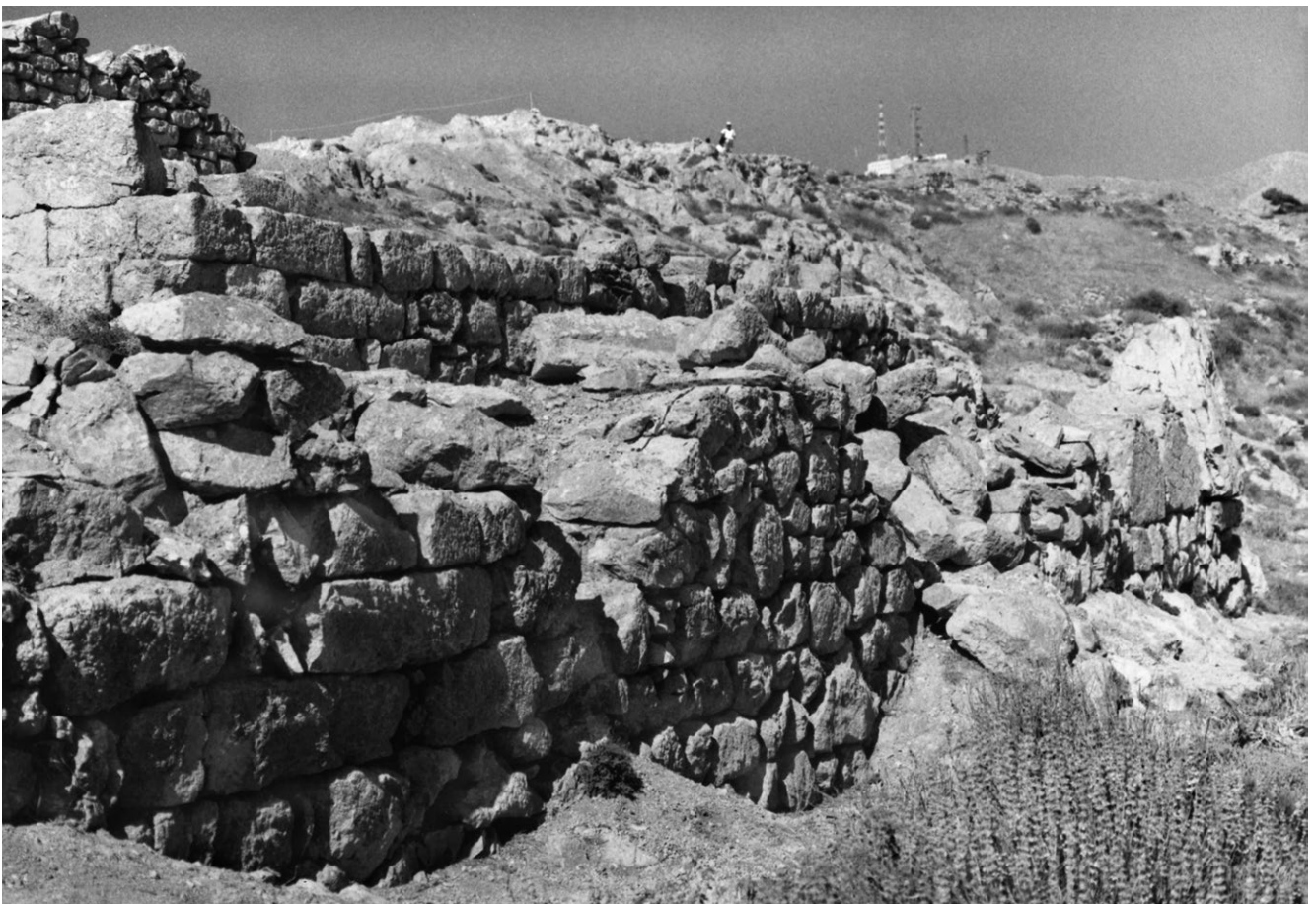
35 Vgl. die Kataloge und Abbildungen in Drerup 1969; Kalpaxis 1976; Mazarakis Ainian 1997, Tab. I–X, bes. Tab. VI. Kalpaxis 1976, 80 listet kurz einige ungewöhnliche Befunde für das Apollon Karneios-Heiligtum auf; auf seiner Abb. 65 sind nur die Räume 1a, 1b, 2 und 3 mit schwarzen Mauern markiert, alle anderen Räume mit weißen Mauern, aber es fehlt eine erläuternde Legende, die etwa die Mauern unterschiedlichen Phasen zuordnen ließe.

36 Vgl. etwa Kalpaxis 1976, 72 f. Abb. 52: Dreros, Bau auf dem Westhügel, der laut Kalpaxis aber nicht sicher als Tempel zu identifizieren ist, sondern auch ein »Zivilbau« gewesen sein könnte, in »dem allerdings sicherlich auch Kulthandlungen stattfanden« (Zitat S. 73).

37 Kalpaxis 1976, 80; Eustathiou – Bitis 2006, 122 Anm. 17.



8



9

untersucht worden, obwohl etwa auch die große, mit Steinbalken gedeckte Zisterne in Hof 6 eindeutig in die hellenistische Zeit oder später zu datieren ist. Vergleichbare Zisternen wurden in verschiedenen Bauten des hellenistischen und römischen Thera gefunden³⁸.

27 Eine zentrale Rolle bei der Datierung spielt das Mauerwerk, das sich besonders gut im Bereich der östlichen Umfassungsmauer (Abb. 2; Nr. M1a. M1aa. M1b. M1c) sowie der Westmauer der Räume 1a/1b erhalten hat. Die Datierung antiker Mauern

Abb. 8: Östliche Umfassungsmauer 1898, von NO

Abb. 9: Östliche Umfassungsmauer, Übergang zwischen Abschnitt M1aa (rechts) und M1b (links), von SO

38 Thera I, 265; Thera III, 143 f. Abb. 125; 160 Abb. 142; Hellmann 2010, 172–175.



10



11

Abb. 10: Östliche Umfassungsmauer, abgetreppter Übergang zwischen Abschnitt M1b (rechts) und M1c (links), von O

Abb. 11: Östliche Umfassungsmauer, Abschnitt M1c mit Risalit bei Raum 8, von NO

- M1a: Der nördlichste Abschnitt der Umfassungsmauer besteht auf ca. 5,80 m Länge aus drei großen Blöcken, die auf einem kleinteiligen Bruchsteinfundament (Oberkante bei +326,33 m ü. M.) ruhen, das auf den anstehenden Felsen gegründet ist.
- M1aa: Auf einer Länge von ca. 10,50 m, bis etwa zur Nordecke von Raum 4, besteht die Mauer aus mittelgroßen polygonalen Bruchsteinen, die auf den Felsen gesetzt sind. Dieser Teil war bereits bei der Freilegung gestört bzw. partiell verstürzt (Abb. 8. 9).
- M1b: Auf der Höhe des Raums 4 schließt sich ein 6,50 m langes Mauerstück aus grob rechteckig geschlagenen mittelgroßen Bruchsteinblöcken an, die in Lagen unterschiedlicher Schichthöhe versetzt worden sind (Abb. 9. 10). Es endet auf Höhe der nordwestlichen Schmalseite der Zisterne in Hof 6. Der anstehende Fels wurde in diesem Abschnitt nicht freigelegt.
- M1c: Die Mauer setzt sich auf einer Länge von ca. 6,90 m geradlinig fort, springt dann um 1,30–1,60 m nach Osten vor und läuft auf einer Länge von ca. 6,50 m bis zur Südost-Ecke des Heiligtums fort (Abb. 10. 11). Die Mauer ist aus deutlich grö-

basierend auf Material und Technik ist umstritten, allen voran für vermeintlich ›altertümliche‹ Typen wie Polygonalmauerwerk. Markant unterschiedliche Typen an demselben Bau können dennoch zumindest auf unterschiedliche Zeitstufen bzw. Phasen hinweisen. Die Mauern des Apollon Karneios-Heiligtums können hier nicht detailliert diskutiert werden³⁹, aber auffällige Unterschiede in der Machart der östlichen Umfassungsmauer haben Anlass zu der weiter unten diskutierten Sondage gegeben. Sie sind auch bereits von Eustathiou und Bitis erwähnt worden, die diese Unterschiede auf Unebenheiten im Terrain, unterschiedliche statische Anforderungen im Bereich der Zisterne oder allenfalls auf Reparaturen, nicht aber auf verschiedene Bauphasen zurückführten⁴⁰.

28 Die östliche Umfassungsmauer fungierte von Norden nach Süden als Ost-Mauer des Gangs 5, des Raums 4 und des Hofes 6 sowie dann mit Versprung nach Osten als Begrenzung des Raums 8 (Abb. 2. 3). Nur auf der Höhe von Raum 8 hat diese Mauer sicher ein Dach gestützt und muss entsprechend hoch gewesen sein; in allen anderen Teilen ist sie als Brüstungs- oder Begrenzungsmauer ungewisser, aber potentiell niedriger Höhe denkbar (Abb. 6). Von Norden nach Süden umfasst diese Mauer folgende Macharten (Abb. 7. 8):

39 Dazu ausführlich Kose in Vorb.

40 Eustathiou – Bitis 2006, 119 f.



Abb. 12: Vorterrasse, Sondage 1994 A, von S

Abb. 13: Vorterrasse, Sondage 1994 A, von O

12

ßeren, polygonal zugeschnittenen Rohbossenblöcken gemacht, die mit engem Fugenschluss sorgfältig gefügt sind⁴¹. Die größeren Blöcke ruhen auf einem Fundament aus kleinteiligen Bruchsteinen (Oberkante +325,55–325,70 m ü. M.), das tiefer als das Bruchsteinfundament von M1a liegt. Zwischen den Abschnitten M1b und M1c gibt es keine klare vertikale Fuge, sondern M1c greift abgetrept auf M1b über (Abb. 10). Im Bereich von M1c wurde der anstehende Fels im 19. Jh. nicht freigelegt. An der Nord- und Ostecke von Raum 8 sind an den Blöcken der aufgehenden Mauer M1c Ecklehren in Form von Randschlägen angebracht (Abb. 11).

M1a ist eindeutig als Eckmauerwerk zu identifizieren, dessen massive sichtbare Blöcke vermutlich eine repräsentative Wirkung hatten. Die Abschnitte M1aa und M1b sind deutlich kleinteiliger gestaltet und unterscheiden sich durch die polygonale versus rechteckige Form der Blöcke. Der auffälligste Wechsel im Mauerwerk ist zwischen den Abschnitten M1b und M1c zu beobachten, der etwa an der Nordecke von Hof 6 liegt. Die solidere Bauweise könnte man im Bereich des Hofes mit dem Wasserdruck in der unmittelbar benachbarten Zisterne⁴² und im Bereich von Raum 8 mit der Existenz eines Dachs begründen; die Mauern M1a, M1aa und M1b mussten dagegen allenfalls



13

41 In Thera I, 280 wurde zumindest für den nördlichen Teil der östlichen Umfassungsmauer (M1a) der Begriff »polygonale Bauweise« verwendet; das FU-Projekt bezeichnet den Abschnitt M1c ebenfalls als Polygonalmauerwerk; Eustathiou – Bitis 2006, 119 Anm. 13 verwenden stattdessen den Terminus des unregelmäßig trapezoidalen Mauerwerks für die östliche Umfassungsmauer.

42 So Eustathiou – Bitis 2006, 119 f.

Aufschüttungen für Hof 4 und Gang 5 abstützen. Da das FU-Projekt die Zisterne aber als hellenistisch identifiziert hat, stellte sich die Frage, ob die markante Differenz zwischen M1b und M1c chronologische Gründe hat und auf unterschiedliche Bauphasen zurückzuführen ist. Deshalb wurde gegen die Außenseite von Abschnitt M1c auf der Höhe der Zisterne eine Sondage angelegt.

Sondage 1994 A

30 Im Bereich der Vorterrasse, die von den Mauern M1c und M2 begrenzt wird, wurde 1994 auf der Höhe der Zisterne eine Sondage (1 m NW-SO × 2,80 m NO-SW) angelegt (Abb. 12. 13). Die Stützmauer M2 ist aus Bruchsteinen gemacht und nur auf einer Länge von ca. 8,20 m zu verfolgen⁴³. In diesem Bereich war auf eine ungestörte Stratigraphie mit antiken Schichten zu hoffen, während die Vorterrasse weiter nördlich und weiter südlich deutlich mehr von Erosion betroffen war (Abb. 8).

31 Die Sondage erreichte eine Tiefe zwischen 90 und 150 cm von der Geländeoberfläche, die größte zu Füßen der Mauer M1c, bei der die Unterkante des Fundaments auf dem Felsen erreicht wurde (Abb. 13). Die Sondage wurde von Rainer Komp durchgeführt⁴⁴. Gegraben wurde in künstlichen horizontalen Abhüben von 2–9 cm Stärke, wobei versucht wurde, mit den jeweiligen Abhüben nicht verschiedene Straten gleichzeitig zu schneiden. Das ist leider nicht immer gelungen, was bei der chronologischen Auswertung der Funde berücksichtigt wurde.

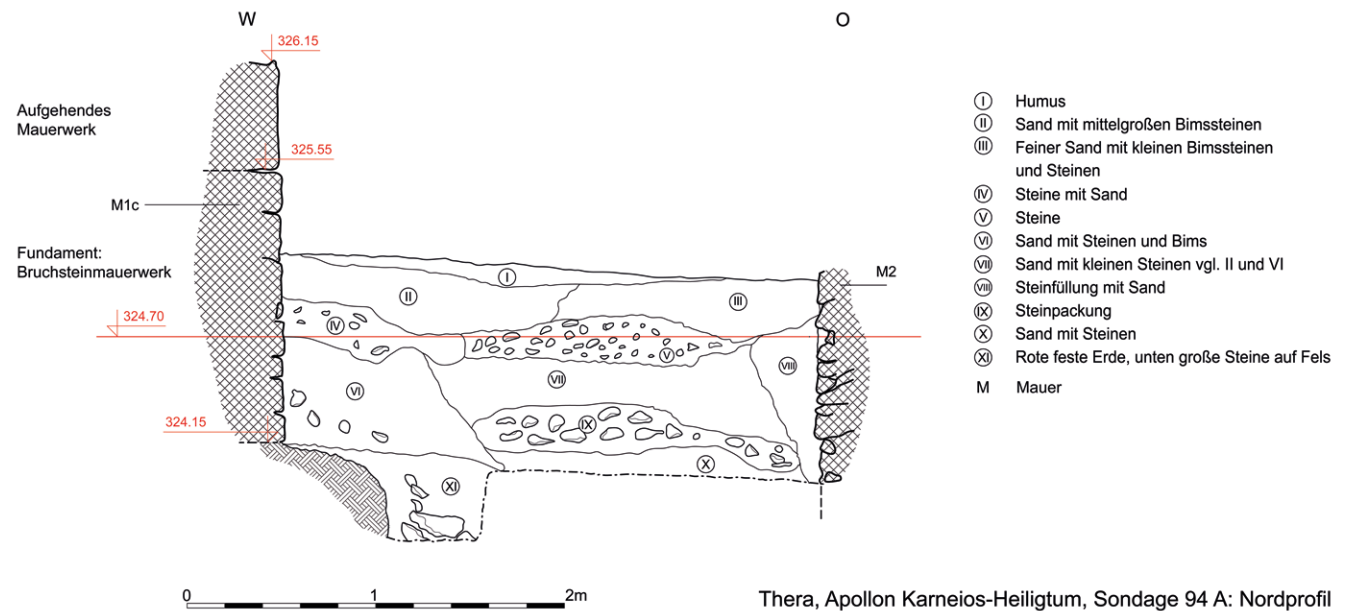
32 Das Fundamentmauerwerk der Mauer M1c setzte bei +323,99 bis +324,15 m ü. M. auf dem anstehenden Felsen auf. Das Fundament besteht aus einfachem, kleinformatigem Bruchsteinmauerwerk mit großen Lücken in den Fugen. Es ist nicht auf Sicht gearbeitet und reicht an dieser Stelle bis ca. +325,55–325,66 m ü. M. hinauf. Erst auf diesem Niveau setzt das sorgfältig gefügte aufgehende Polygonalmauerwerk ein (Abb. 13).

33 Fast alle ausgegrabenen Schichten (II–VII, IX, X) lehnen gegen das Fundamentmauerwerk und müssen deshalb zum Verfüllungsprozess der Vorterrasse gehören. Von unten nach oben wurden folgende Schichten identifiziert, die hier in der Reihenfolge aufgeführt werden, in der sie eingebracht wurden (Abb. 14. 15):

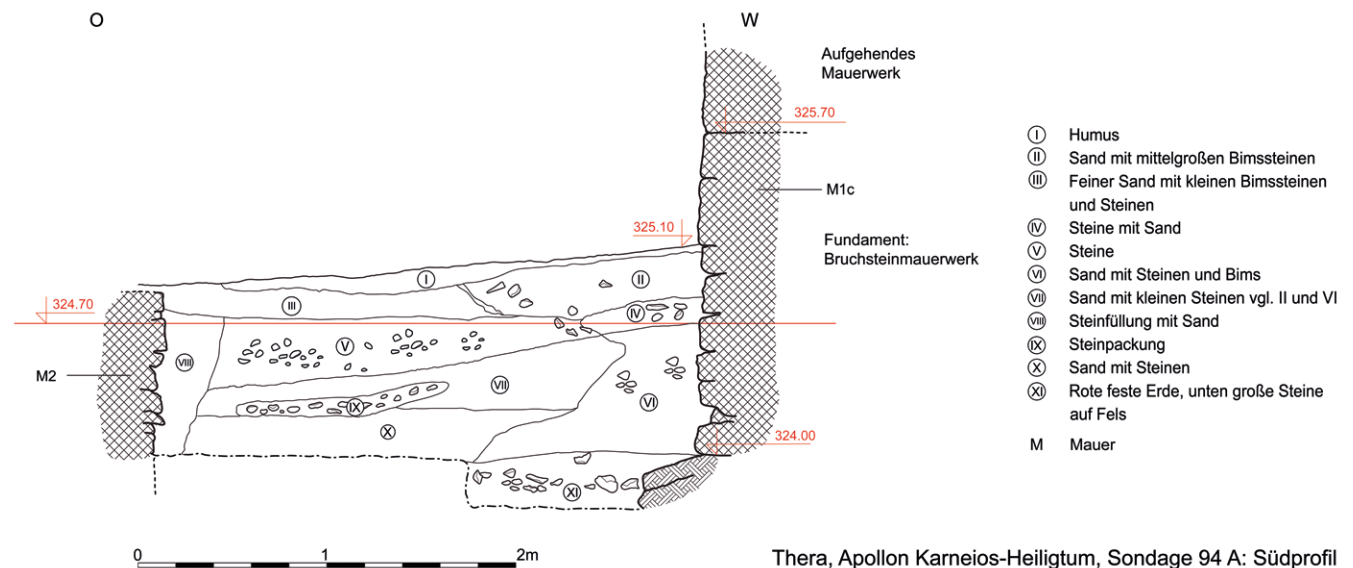
- XI: Eine Schicht aus roter fester Erde mit einer Konzentration von Steinen im unteren Teil wurde nur im westlichen Teil freigelegt, wo die Sondage am tiefsten angelegt war. Die Schicht bedeckte den Felsboden und reichte nur bis zur Unterkante des Fundaments von M1c hinauf. Im Stratum wurden Keramikfragmente gefunden, die einen deutlichen Schwerpunkt im 4./3. Jh. v. Chr. haben und einen Terminus post quem im frühen 3. Jh. v. Chr. liefern.
- Bau der Mauer M1c.
- VI: Eine Schicht aus Bims und Schotter wurde gegen den untersten Teil des Fundaments von M1c geschüttet. Sie enthielt Keramikfragmente, die von ca. 650 bis 550 v. Chr. zu datieren sind.
- X: Ein fundleeres Stratum aus Sand mit Steinen wurde nur im östlichen Teil gefunden und wohl von der Schicht VIII geschnitten (deutlicher beobachtet im Südprofil als im Nordprofil). Es bedeckte vermutlich die Schicht XI und wurde gegen Stratum VI geschüttet.
- IX: Eine Steinpackung bedeckte im Nordprofil vollständig das Stratum X, während sie im Südprofil nur noch eine Linse bildete; in dieser wurde nur wenig Keramik gefunden, darunter ein Wandfragment, das in den Zeitraum vom späten 7. bis in die erste Hälfte des 6. Jhs. v. Chr. datiert wird.

43 Der von Eustathiou – Bitis 2006, 117 Abb. 2 abgebildete Steinplan zeigt, dass diese Mauer in ihre Reinigungsarbeiten und Untersuchungen nicht einbezogen wurde.

44 Sie wurde am 7.9.1994 begonnen und am 13.9.1994 wieder verfüllt.



14



15

- VII: Eine Schicht aus Sand mit kleinen Steinen, die Ähnlichkeit mit den Straten VI und II hat, wurde über Schicht IX eingebracht und schloss oben ungefähr bündig mit Schicht VI ab. Die Keramik dieser Schicht konnte nicht berücksichtigt werden, weil die Schicht in Abhub 7 nicht sauber von anderen Straten getrennt wurde.
- IV/V: Eine Schicht aus Steinen mit Sand im westlichen Teil (IV) und mit deutlich mehr Steinen im östlichen Teil (V) bedeckte die Schichten VI und VII. Beide Schichten wurden beim Graben mit Abhüben (4 und 5) nicht klar erkannt und die Keramik wurde entsprechend nicht separiert; sie kann deshalb für eine chronologische Auswertung nicht berücksichtigt werden.
- Bau der Mauer M2/VIII: Eine Schicht (VIII) aus festem hellen Sand mit Steinen füllte den Fundamentgraben, der für den Bau der Mauer M2 nachträglich angelegt wurde, wobei er dann die Schichten X, IX, VII und V durchschnitt; die Grabenfüllung VIII schließt oben bündig mit der Schicht V ab. Es wurde nur

Abb. 14: Sondage 1994 A, Nordprofil (M. 1 : 40)

Abb. 15: Sondage 1994 A, Südprofil (M. 1 : 40)

wenig Keramik gefunden, darunter wohl ein geometrisches Wandfragment und ein archaisches Randfragment.

- II/III: Eine Schicht aus Sand mit mittelgroßen (II) und kleinen (III) Bimssteinen erstreckte sich von M1c bis M2 und bedeckte die Schichten IV, V und VIII. Während in Stratum II spätarchaische Scherben gefunden wurden, enthielt Stratum III hellenistische Scherben.
- I: Humus.

34 Es ist deutlich, dass die Schichten VI, X, IX, VII, IV und V wohl gleichzeitig eingebracht worden sind. Es handelt sich um sandige Schichten, bei denen jeweils die Zahl und Dichte der Steine variierte; so bestanden V und IX wesentlich aus Steinen. Da in der untersten Schicht XI hellenistische Keramik gefunden wurde, sind die Keramikfragmente des 7./6. Jhs. v. Chr. aus den darüber liegenden Schichten IX, VI und II als residuale Stücke zu deuten, die durch die Verlagerung von altem Siedlungsschutt in die Auffüllung der hellenistischen Vorterrasse gelangten.

35 Das antike Laufniveau über den Straten IV und V dürfte wegerodiert sein. Die Schichten liegen nämlich 70–80 cm unter dem auf Sicht gearbeiteten aufgehenden Polygonalmauerwerk von M1c. Am heute sichtbaren Teil von M1c ist deutlich eine durchgehende, leicht nach Norden hin abfallende Lagerfuge zwischen dem Bruchsteinmauerwerk des Fundamentes und dem Polygonalmauerwerk des Aufgehenden von M1c zu sehen; entsprechend wäre das antike Laufniveau bei ca. +325,66 m ü. M. im Süden und mindestens +325,50 m ü. M. weiter nördlich zu rekonstruieren (Abb. 7).

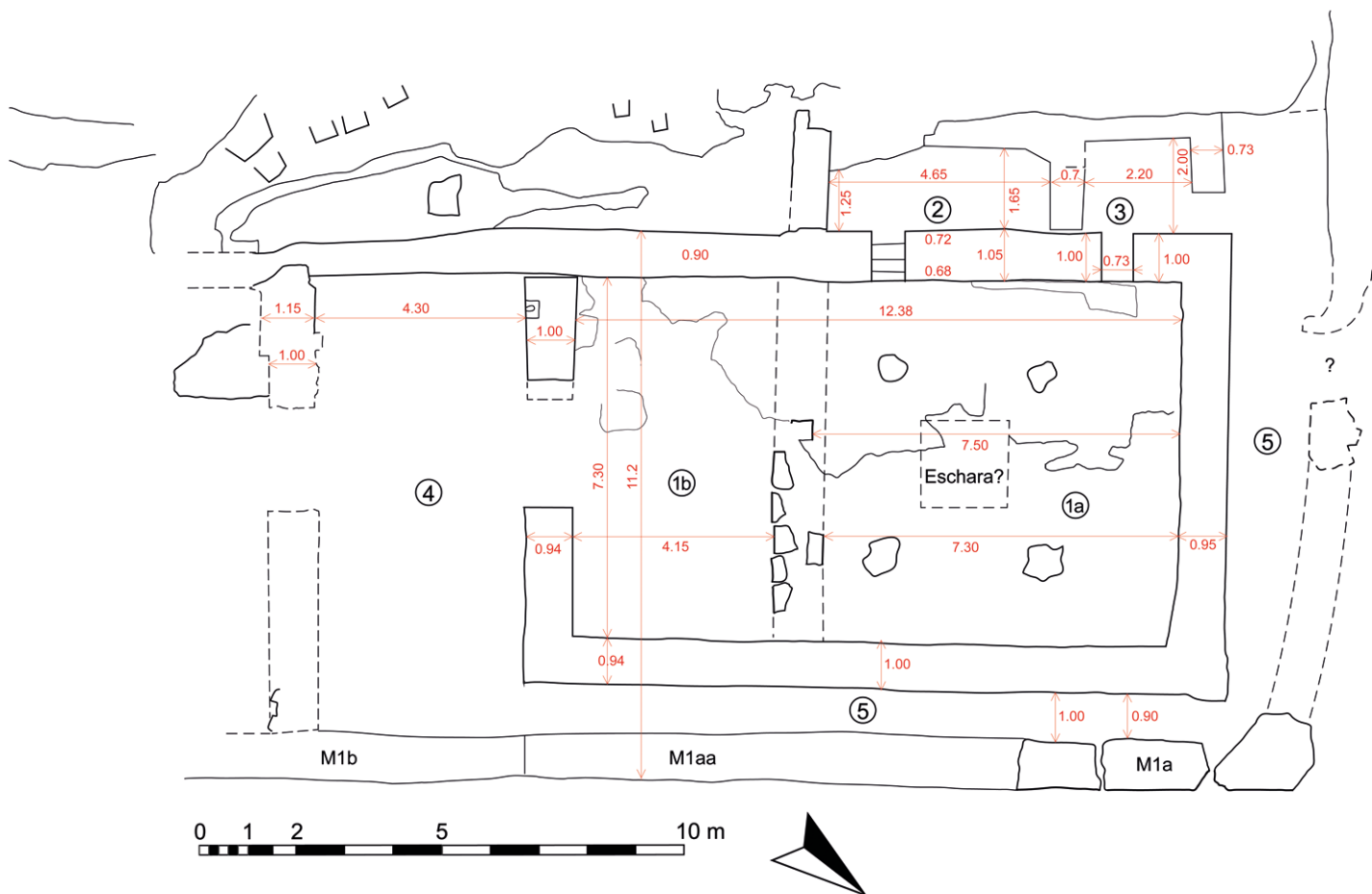
36 Wann die Mauer M2 im Verhältnis zu M1c errichtet wurde, ist unklar, weil die Fundamentgrabenverfüllung ebenfalls nur residuale archaische Keramik enthielt. Die Stratigraphie legt nahe, dass zwischen der Errichtung der Mauern einige Zeit verstrichen ist, weil der Fundamentgraben für M2 in die Füllschichten VI, X, IX, VII, IV und V einzuschneiden scheint. Da diese Füllschichten aber keine ersichtliche Neigung von Westen nach Osten zeigen, die auf Erosion hinweisen würde, müssen sie von Anfang an eine Begrenzung im Osten gehabt haben. Der Befund ist folglich am ehesten so zu erklären, dass M2 schon existierte, als man die Füllschichten VI, X, IX, VII, IV und V einbrachte, und dass M2 dann repariert wurde, bevor man die Schichten II und III einfüllte. Der heutige Zustand von M2 und vor allem von M3 belegt, dass diese in den steilen Hang gebauten Stützmauern besonders von Erosion betroffen waren und möglicherweise schon in der Antike mehrfach repariert werden mussten. Die Sohle von M2 wurde bei einer Tiefe von +324,00 m ü. M. noch nicht erreicht, mag aber der Form des Fundamentgrabens nach bei ca. +323,60 m ü. M. gelegen haben.

37 Die Straten II und III mit residualer archaischer und hellenistischer Keramik liegen noch ca. 20–30 cm unterhalb des aufgehenden Mauerwerks von M1c. Weitere antike Füllschichten der Terrasse dürften erodiert sein, über M2 hinunter, dessen erhaltene Oberkante heute ungefähr bündig mit den Schichten II und III abschließt (Abb. 12).

Auswertung

38 Die Sondage 1994 A hat signifikante Bedeutung für die Baugeschichte des Apollon Karneios-Heiligtums. Sie belegt, dass die Mauer M1c und mit dieser der Hof 6 sowie die Räume 7 und 8 nicht vor der hellenistischen Zeit errichtet worden sind. Die aussagekräftige Keramik aus der Schicht XI liefert einen Terminus post quem im frühen 3. Jh. v. Chr., d. h. Baumaßnahmen im Heiligtum könnten erfolgt sein, nachdem die Ptolemäer in Thera eine Flottenbasis eingerichtet hatten.

39 Die offiziellen Inschriften, die im Heiligtum gefunden bzw. diesem zugewiesen wurden, sprechen eher für eine hellenistische Datierung, vielleicht um die Mitte



16

oder in der zweiten Hälfte des 3. Jhs. v. Chr.⁴⁵. Aber die verschiedenen Ehrenstatuen, die hier möglicherweise im 1. Jh. v. Chr. bis 1. Jh. n. Chr. aufgestellt wurden, belegen zumindest die Popularität des Heiligtums im späten Hellenismus und in der frühen Kaiserzeit. Elemente wie der Marmorsplitterboden in Raum 4 und die Zisterne in Hof 6 sind mit beiden Datierungen kompatibel.

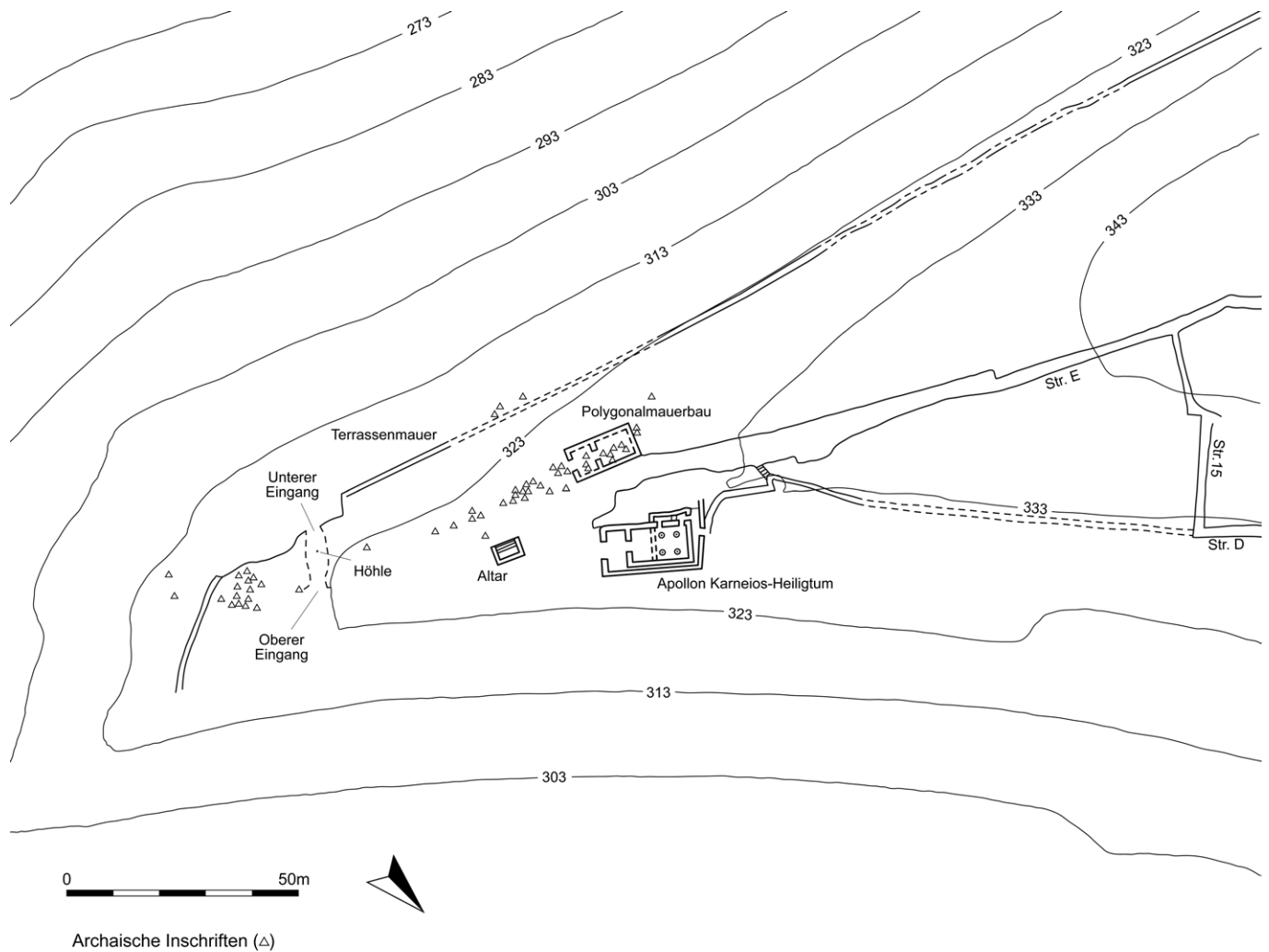
40 Da die Differenz zwischen den Mauertechniken von M1b und M1c im FU-Projekt als Ergebnis unterschiedlicher Bauphasen gedeutet wurde (Abb. 7. 10), wobei das Mauerwerk M1b älter als das deutlich sorgfältigere und aufwendigere Mauerwerk von M1c ist, stellt die hellenistische oder frühkaiserzeitliche Datierung zugleich einen Terminus ante quem für die erste Bauphase des Heiligtums dar. Folglich lassen sich Überlegungen zum ursprünglichen Plan desselben anstellen. Dies kann hier nicht in der gebotenen Ausführlichkeit erfolgen, weshalb einige wenige vorläufige Bemerkungen genügen müssen⁴⁶.

41 Wenn die Mauerabschnitte M1a, M1aa und M1b der östlichen Umfassungsmauer zur ersten Bauphase gehörten, dann kann das Heiligtum als Komplex mit Pronaos und Naos (1a/b), kleinem Vorhof (4) und Haupteingang im Süden (Abb. 16) rekonstruiert werden. Der Gang 5 wäre bereits vorhanden gewesen und hätte möglicherweise als Nebeneingang von der Hauptstraße im Nordwesten dienen können. Die Räume 2 und 3 wurden von Anfang an auf verfügbarem Restterrain errichtet und mit dem Raum 1a über Türen verbunden, auch wenn ihre Trennmauern an die Südwestmauer von 1a anstoßen. Der Antenaltar an der »Agora der Götter« hätte zwar nicht dieselbe Orientierung wie der Oikos-Tempel aufgewiesen, aber in einer Achse mit diesem gelegen; ferner hätte

Abb. 16: Apollon Karneios-Heiligtum, Rekonstruktion der ersten Phase (M. 1 : 150)

45 Wenn der oben erwähnte Brief IG XII 3, 328 von Anfang an hier aufgestellt wurde.

46 Ausführlich dazu Kose in Vorb.



17

Abb. 17: Hypothetische Rekonstruktion der »Agora der Götter« in vorhellenistischer Zeit (M. 1 : 1500)

es zwischen Altar und Oikos-Tempel eine deutlich bessere Sichtverbindung gegeben als nach dem erweiternden Umbau in Phase 2 (Abb. 17). Die Frage, wann genau das ursprüngliche Heiligtum errichtet wurde, lässt sich auf diese Weise allerdings nicht klären, weil dies weitere stratigraphische Grabungen in dem hier rekonstruierten Bereich des ersten Heiligtums erfordert⁴⁷.

⁴² Für die hellenistische Aus- und Umbauphase ergeben sich zahlreiche interessante Perspektiven, die in Zukunft weiter erforscht und kontextualisiert werden können⁴⁸. Die Erweiterung des Heiligtums um einen großen Hof mit Nebenräumen bot Raum für neue Aktivitäten, wie etwa die Aufstellung von Dokumenten und Statuen, oder auch für die Bedürfnisse der – zumindest ab dem 1. Jh. v. Chr. sicher nachgewiesenen – Priester. Die nobilitierende Pflasterung von Raum 4 differenzierte visuell zwischen Hof 6 und Hof 4 und wurde vielleicht bewusst eingesetzt, um die Übergangszone zum Oikos-Tempel, die auch vom Vorgängerbau übernommen worden war, zu markieren. Die Wasserversorgung wurde entscheidend verbessert, wenn sie nicht überhaupt jetzt erst für das Heiligtum eigens installiert wurde, um Wasser für vielfältige (kultische wie profane) Zwecke innerhalb des sakralen Bezirks zur Verfügung zu stellen⁴⁹. Opfer fanden

⁴⁷ Nördlich der Mauer M5 (Abb. 2) und in Gang 5 dürfte es noch antike Verfüllungen geben, die man untersuchen könnte.

⁴⁸ Auch dazu ausführlicher Kose in Vorb. Zur Nutzung älterer griechischer Heiligtümer in der hellenistischen Zeit und Kaiserzeit und zur Inszenierung und Perzeption hellenistischer Heiligtümer, vgl. Steuernagel 2008, Steuernagel 2009 und Steuernagel 2014; Galli 2013; und jüngst die Beiträge in Haug – Müller 2020.

⁴⁹ Zur Verwendung von Wasser in griechischen Heiligtümern von Ehrenheim u. a. 2019.

allerdings offenbar weiterhin außerhalb des heiligen Bezirks statt, wenn nicht ein marmorner Rundaltar mit Girlanden und Bukranien, der sich heute in der Schlucht Tu Kywukliu befindet, zusammen mit den Statuenbasen vom Heiligtum herabgerutscht ist (Abb. 18)⁵⁰. Er hätte aber nur für kleinere Opfer verwendet werden können und nicht für umfangreiche Brandopfer, wie sie etwa bei großen öffentlichen Festen wie den Karneen zu erwarten sind. Ob der altehrwürdige Oikos-Tempel vom Umbau unberührt blieb oder seine Ausstattung im Innern modernisiert wurde, ist anhand der spärlichen Befunde nicht mehr zu klären. Die Zugänglichkeit und Visibilität im urbanen Raum (vgl. Abb. 6 und Abb. 17) waren jetzt deutlich verändert: Das Heiligtum war von außen als langer geschlossener Komplex wahrzunehmen, der von einer Langseite aus zugänglich war⁵¹. Die direkte Sichtverbindung zwischen Altar und Heiligtum wurde blockiert, aber die Türen der zentralen Räume (4, 1b, 1a) lagen weiterhin in einer Achse und gewährten damit ein geradliniges Durchschreiten. Ob die nordöstliche Vorterrasse nur zum Schutz vor Erosion angelegt wurde oder aber bewusst für Zirkulation konzipiert war, bleibt noch zu klären. Man hätte sie im Rahmen von Ritualen (etwa Prozessionen) nutzen können oder, um den spektakulären Blick auf die Landschaft und das Meer zu genießen – ein Phänomen, das in hellenistischen Städten zunehmend an Bedeutung gewann und mit Terrassierungen gezielt ermöglicht und inszeniert wurde.



18

Abb. 18: Marmorner Rundaltar in der Tu Kywukliu Schlucht (Maßstab im Vordergrund 30 cm)

Straße 11

Straßenbeläge in Thera

⁴³ Die Straßen und Plätze von Thera, die Hiller von Gaertringen bei seinen Grabungen freilegte, sind über weite Strecken mit kleinen unregelmäßig geformten Kalksteinen gepflastert⁵². Zusätzlich wurden die stark abschüssigen schmalen Hangstraßen (Stenopoi) mit Stufensetzungen bequemer gangbar gemacht⁵³. Von der von Süd nach Nord verlaufenden Straße F entlang der Westseite der Basilike Stoa (Abb. 1; Nr. 25), die mit etwa 3,2 m für die örtlichen Verhältnisse sehr breit war, führt ein Entwässerungskanal über die abschüssige, von West nach Ost verlaufende Hangstraße 6 zur südlichen Agora; dort biegt der Kanal rechtwinklig um die Nordostecke der Basilike Stoa nach Süden und setzt sich auf dem Platz mindestens bis zu dem Komplex südlich der Stoa fort (Abb. 1; Nr. 26). Auf der Agora ist der aus Kalkbruchsteinen gemauerte Kanal mit mehr oder minder rechteckig geschlagenen Kalksteinen abgedeckt, die vom kleinsteinigen Pflaster ausgespart sind (Abb. 19)⁵⁴. Hiller von Gaertringen war bemüht, bei seinen Ausgrabungen all diese

⁵⁰ Der Altar ist in die hellenistische Zeit oder frühe Kaiserzeit zu datieren; er ist 0,71 m hoch und hat einen Durchmesser von ca. 0,50 m; dazu ausführlich Kose in Vorb.; in Thera III, Plan I ist die Lage dieses Altars eingetragen.

⁵¹ In Thera I, 277 und Eustathiou – Bitis 2006, 119 Anm. 12 wurden zwei Säulen vor dem Eingang zu Hof 6 rekonstruiert, also eine Art Propylon; die Existenz dieser Säulen wird im Rahmen des FU-Projekts aber angezweifelt; dazu Kose in Vorb.

⁵² Thera I, 218 mit Abb. auf S. 216; 219. 269; Thera III, Plan II.

⁵³ Thera I, Abb. auf S. 213 oben, 268 oben und 294.

⁵⁴ Thera I, 218 mit Abb. auf S. 216 und 219 sowie Thera III, Plan II, Planquadrat B6 und B7.



Abb. 19: Thera, Agora. Pflasterung des Platzes und Kanalabdeckung, von N

19

Pflasterungen und Kanäle zu erhalten⁵⁵, weshalb damals Sondierungen unterblieben, die über die Konstruktion und Datierung Anhaltspunkte hätten liefern können.

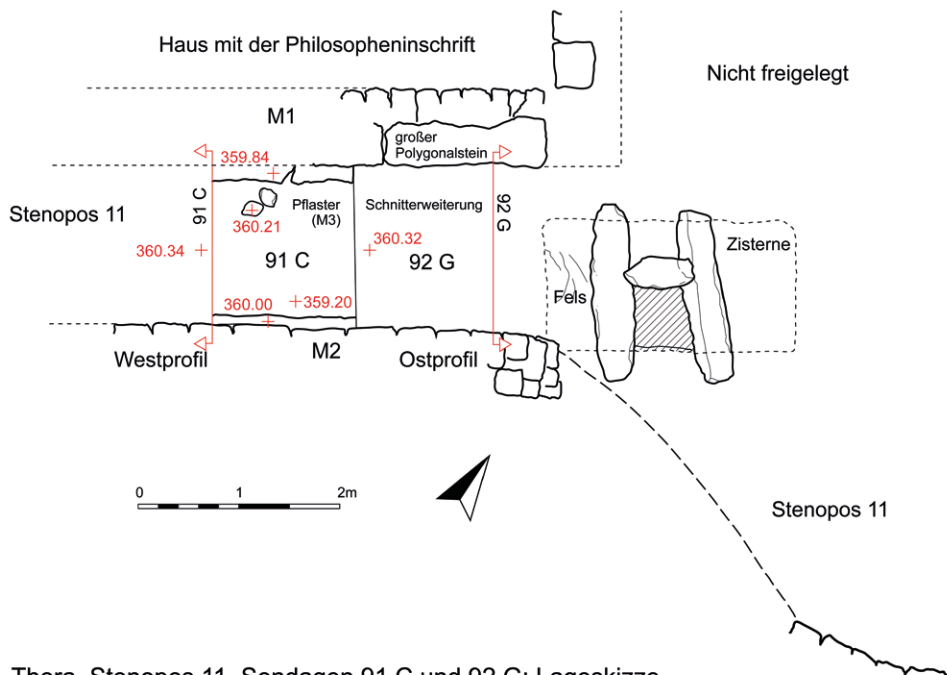
⁴⁴ Im Jahr 1992 wurden bei drei Sondagen an den Außenmauern der Basilike Stoa erstmals die Beläge der Straße F und der Agora untersucht⁵⁶. In der Straße F befand sich (bei +353,47–60 m ü. M.) der erste sicher identifizierbare Straßenbelag über einer anthropogenen, mindestens 80 cm mächtigen fundleeren Bimssteinschicht, die zur Nivellierung des Terrains diente, aber nicht vollständig (bis zum Felsen bzw. ihrer Unterkante) ausgegraben wurde. Dieser Straßenbelag wurde beim Bau der Stoa wohl in der 1. Hälfte des 2. Jhs. v. Chr. angelegt. Danach wurde das Straßenniveau bis ca. 50/25 v. Chr., vermutlich vor der römischen Kaiserzeit, dreimal angehoben, wobei der oberste Belag aus kleinen Pflastersteinen bestand. Zusätzlich wurde in der Folgezeit, zu einem ungewissen Zeitpunkt, der oben erwähnte große Entwässerungskanal installiert. Obwohl die Basilike Stoa nach dem Bau des Kanals noch mindestens dreimal umgebaut wurde (in der frühen Kaiserzeit, in trajanischer Zeit und in antoninischer Zeit), waren davon kaum Spuren in der Straße zu identifizieren und man hat die Straße in jedem Fall nicht nochmals sichtbar erhöht oder neu gepflastert.

⁴⁵ In den zwei Schnitten auf der Agora wurde die anthropogene, mindestens 40 cm starke fundleere Bimssteinschicht ebenfalls nur in ihren oberen Bereichen freigelegt und erst bei +351,31–351,43 m bzw. +351,60 m ü. M. erreicht. Hier waren die Laufniveaus deutlich schlechter erhalten. Es konnten aber zwei einfache Schotterschichten über der Bimssteinauffüllung identifiziert werden, die dem Bau der Stoa vorausgingen, und eine Steinpflasterung, die mit bzw. nach dem Bau der Stoa verlegt wurde. Aussagekräftiges datierendes Fundmaterial kam aber in keiner dieser Schichten zutage.

⁴⁶ Alle drei Sondagen haben gezeigt, dass der lokal bequem und umfangreich verfügbare Bimsstein zur Aufschüttung und Nivellierung des Terrains unter Laufniveaus verwendet wurde. Aber ob diese Nivellierungsmaßnahmen erst in hellenistischer Zeit

⁵⁵ Hiller von Gaertringen in Thera I, 217 Anm. 21: »Es sei nebenbei bemerkt, daß unter dieser Straße [Straße 6, Anm. Verf.] ein Wasserkanal läuft, der mit der Straße auf die Agora umbiegt. Auch sonst finden sich solche Kanäle, die aber nicht freigelegt sind, um nicht das gut erhaltene Pflaster zu zerstören.«

⁵⁶ Dazu ausführlich Kose u. a. 2022.



Thera, Stenopos 11, Sondagen 91 C und 92 G: Lageskizze

Abb. 20: Straße 11, Sondagen 1991 C und 1992 G. Lageskizze (M. 1 : 75)

20

oder schon früher durchgeführt wurden und in welchem Umfang, konnte nicht bestimmt werden. Mitten auf der Freifläche der sog. südlichen Agora hat Charalambos Sigalas 1995 einen Schnitt angelegt und dabei unter einer mehr als 1 m starken, intentional aufgefüllten Aufschüttung aus Bimssteinen Kulturschichten mit Keramik des 8. und frühen 7. Jhs. v. Chr. gefunden⁵⁷. Damit war ein Terminus post quem für die Bimssteinschicht in diesem noch unpublizierten Schnitt gewonnen; es ist aber keineswegs sicher, wann genau die Aufschüttung erfolgte.

47 Zwei im Jahr 1991 und 1992 angelegte Sondagen in der Straße 11 lieferten wichtige Erkenntnisse für die Frage nach dem Verhältnis von Straßenbelägen und Bimssteinfüllungen und der Datierung.

Sondagen 1991 C und 1992 G in der Straße 11

48 In diesen Sondagen trat unter dem nur fragmentarisch erhaltenen Straßenbelag aus Schottersteinen eine bis auf den Felsen hinabreichende Bimssteinschicht zu Tage, die archaische Scherben enthielt und erneut belegte, dass Bimsstein für intentionelle Straßenauffüllungen bzw. die Unterkonstruktion von Straßen benutzt wurde.

49 Die Straße 11 verläuft in Ost-West-Richtung von der Hauptstraße E bis zum Heiligtum der ägyptischen Götter (Abb. 1; Nr. 33). Zwischen dem Heiligtum und einer Biegung mit Versprung nach Süden wird die Straße 11 nördlich von einer Mauer (M1) aus großen trapezoidal behauenen Kalksteinblöcken begrenzt (Abb. 20, 21). Diese Mauer gehört zu einem großen Haus, das in den Planquadraten A 6 und A 7 von Wilskis Stadtplan liegt⁵⁸. Dort ist im Nordflügel ein philosophisches Gedicht, IG XII 3, 1656, aus der Zeit um 200 v. Chr. gefunden worden, nach dem der Bau auch »Haus mit der philosophischen

57 Mündliche Mitteilung am 3.5.2003 von Jürgen Giese, der diesen Schnitt 1995 gesehen hat; vgl. auch Hiller von Gaertringen 1899, 183; Hoepfner 1997, 13 Anm. 18; Giese – Kose 2006, 81 mit Abb. 2; Kose u. a. 2022, 172 Anm. 17; 188–190, 198.

58 Das Haus misst etwa 28 auf 25 m; um einen 13 m × 13 m großen Innenhof war im Süden, Westen und Norden je ein Flügel mit Räumen angeordnet. Hoepfner hat die Planquadrate aus Wilskis Plan 2 von Thera III nicht in seinen Plan (Hoepfner 1997, Plan 1) übernommen; hier sind in Abb. 1 die Planquadrate Wilskis in Hoepfners Plan eingetragen worden.



Abb. 21: Straße 11, Sondage 1991 C. Ansicht von SO

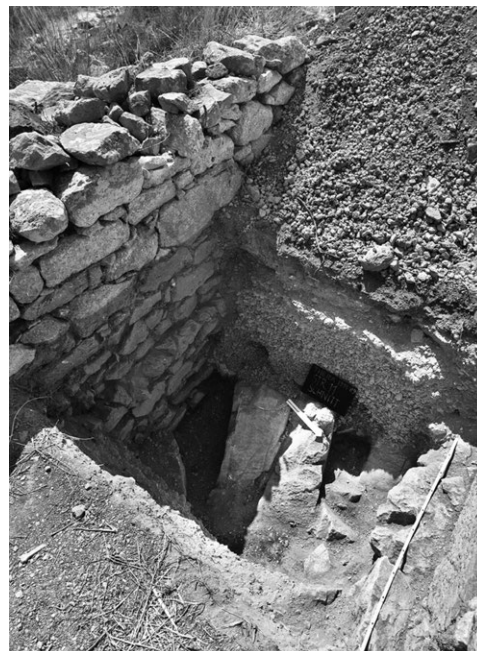


Abb. 22: Straße 11, Sondage 1991 C. Ansicht von NO

21

22

Inschrift« genannt wurde⁵⁹. Die Fassade (M1) am Südflügel des Hauses identifizierte Hiller von Gaertringen aufgrund ihrer Bautechnik als frühe Mauer des 7. oder 6. Jhs. v. Chr.⁶⁰.

50 Um diese Datierung zu überprüfen, wurde am 11.9.1991 in der Straße in 2,70 m Entfernung von der Südostecke des Hauses die 1,60 m NS × 1,4 m OW große Sondage 1991 C angelegt und nach ihrer Dokumentierung umgehend wieder zugeschüttet (Abb. 20. 21. 22. 23. 24)⁶¹.

51 Der Schnitt wurde in vier aufeinander folgenden horizontalen und willkürlichen Abhüben bis zum anstehenden Felsen abgetieft. Da die Funde aus diesem Schnitt nicht dokumentiert wurden, können sie hier nicht vorgelegt werden. Es kann nur auf vage Angaben zu Funden aus dem Grabungstagebuch verwiesen werden.

52 Nachfolgend werden die Schichten von unten nach oben aufgelistet in der Reihenfolge, in der sie vermutlich eingebracht wurden.

- Der anstehende Felsen wurde bei +359,42 m ü. M. an der höchsten und +359,11 m ü. M. an der tiefsten Stelle erreicht.
- II: Darüber wurde eine ca. 62–80 cm mächtige feste Schicht aus Bimssteinchen gefunden, in die archaische Keramikscherben integriert waren (Abhub 4).
- Bau der Mauer M1 mit Fundamentgraben, Schicht I/III: In die Bimssteinschicht II wurde der Fundamentgraben C2 für M1 eingegraben und mit einer Schicht aus Bimssteinen, Steinen und Keramikfragmenten gefüllt. Die gut gefügte Mauer wurde direkt auf den Felsen (+359,37 m ü. M.) gegründet und mit einem 25 cm vorspringenden Fundament aus zwei Bruchsteinlagen (Oberkante +359,84 m ü. M.) errichtet, das aber unterhalb der Oberkante des Fundamentgrabens liegt und folglich nicht als Auflager für einen Straßenbelag gedient haben kann.
- Bau der Mauer M2 mit Fundamentgraben C1, Schicht V: Vermutlich gleichzeitig mit dem Bau von M1 wurde auf analoge Weise M2 errichtet, mit einem 75 cm hohen Vorfundament aus etwa sechs Bruchsteinlagen (Oberkante

59 Thera III, 187 f. Die Fundstelle der Inschrift ist in dem Plan auf S. 184 Abb. 198 eingetragen. Zur Inschrift s. auch Thera III, 13 f. («Casa del filosofo»); 101 f. (Übersetzung der Inschrift) mit Ergänzung S. 286.

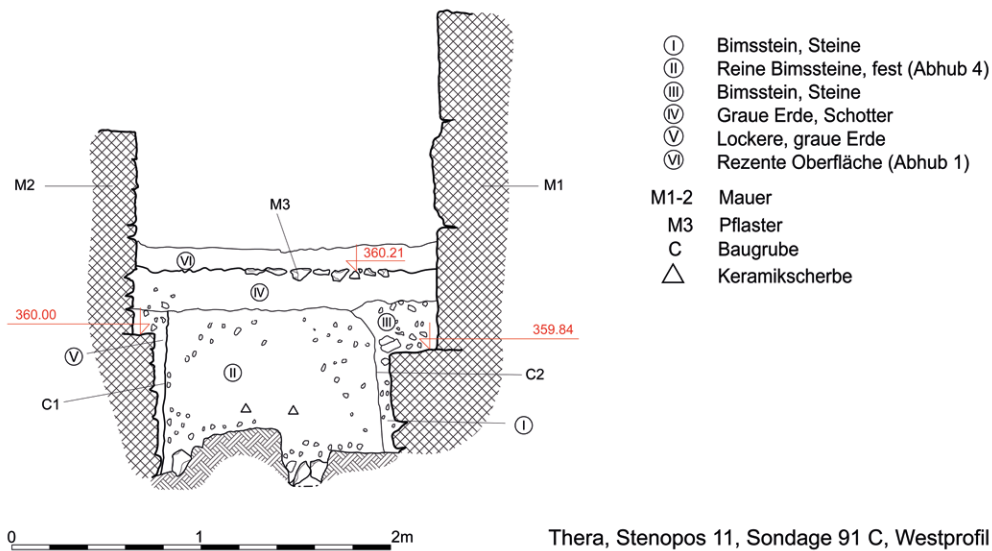
60 Thera III, 75 mit Abb. 52 auf S. 73: »Auch hier große Blöcke, ohne die Finessen der polygonalen Technik [...]. Eine Neigung zu horizontaler Schichtung ist auch hier vorhanden [...].«

61 Grabungstagebuch I, S. 134–136.



23

Abb. 23: Straße 11, Sondage 1991 C. Ansicht von O



24

Thera, Stenopos 11, Sondage 91 C, Westprofil

Abb. 24: Straße 11, Sondage 1991 C. Westprofil (M. 1 : 40)

+360,00 m ü. M.). Die Baugrube wurde mit lockerer grauer Erde gefüllt, die Keramikfragmente der hellenistischen Zeit und möglicherweise Kaiserzeit enthielt.

- IV: Eine Schicht aus grauer Erde und Schotter könnte als Straßenbelag gedient haben, der nach dem Bau der beiden Mauern eingebracht wurde. Ob die Schotterpflasterung M3 zusammen mit dieser Schicht oder später verlegt wurde, konnte nicht geklärt werden.
- VI: Rezente Oberflächenschicht (Abhub 1).

53 Das Westprofil wurde im unteren Teil zwar begradigt, aber auf den verschatteten Fotos dieses Profils (Abb. 21. 22. 23) sind die beiden Fundamentgräben C1 und C2 kaum zu erkennen. Vom Ostprofil wurden weder eine Zeichnung noch Fotos gemacht, die den Befund verifizieren ließen. Eine gewisse Klärung in dieser zentralen Frage brachte erst der Schnitt 1992 G (s. u.).

54 Mit Abhub 2, der bis +359,95 m hinabreichte, wurden die Pflasterbettung IV, der obere Teil der Baugrubenverfüllungen III und V, aber auch schon die oberen 15 cm der Bimsschicht II abgegraben. Dabei kam die Oberkante des Vorfundamentes von M2

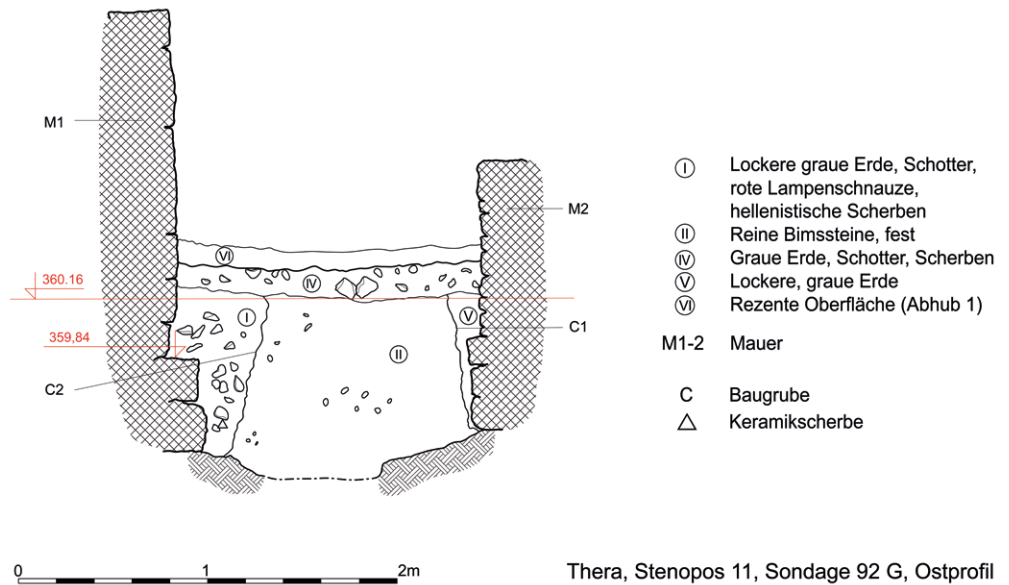


Abb. 25: Straße 11, Sondage 1992 G. Ostprofil (M. 1 : 40)

25



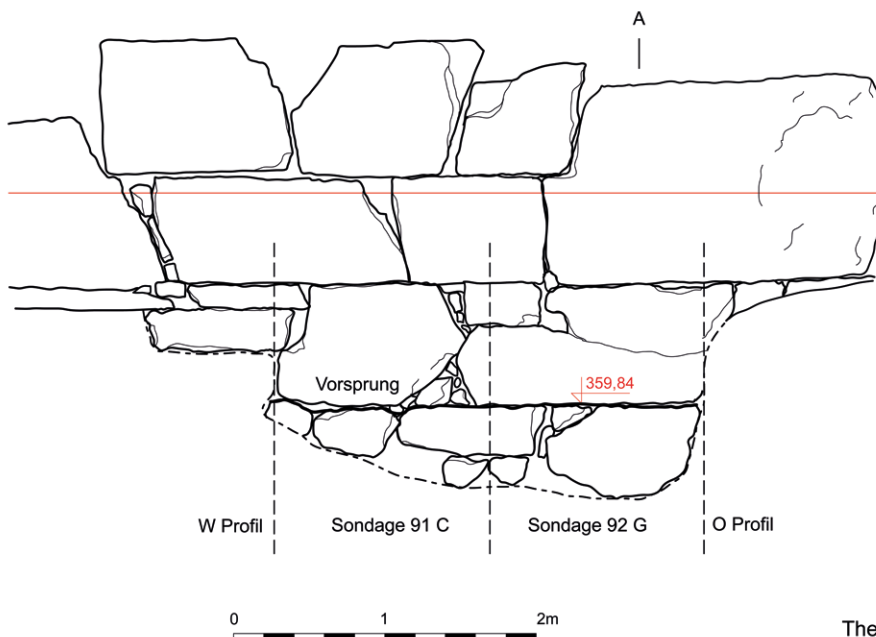
Abb. 26: Straße 11, Sondage 1992 G. Ansicht von W

26

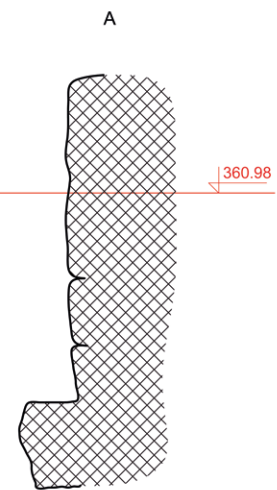
zum Vorschein. Die hellenistischen Scherben aus Abhub 2 können höchstens als Terminus post quem für Schicht IV dienen. Der dann folgende Abhub 3 erfasste fast nur noch Material der Bimssteinschicht II, aber auch noch die unteren, kleinen Restpartien der Schichten III und V; nun wurde auch der Absatz des Vorfundamentes von M1 freigelegt. Schließlich wurde mit Abhub 4 der anstehende Felsen erreicht. Die vorwiegend archaischen Scherben dieses Abhubs stammten wohl ausschließlich aus der Bimssteinschicht II.

55 Weil aus dem Keramikbefund von 1991 nicht eindeutig hervorging, ob die Bimssteinschicht tatsächlich älter als die beiden Mauern und möglicherweise sogar archaisch ist, wurde im folgenden Jahr die Rückverfüllung der Sondage erneut ausgehoben und der Schnitt um 1,4 m nach Osten erweitert, in der Hoffnung, aussagekräftigere Keramik zu gewinnen⁶². Die Erweiterung erhielt die Bezeichnung Sondage 1992 G (Abb. 25). Auf einem Foto des Ostprofils der Sondage 1992 G (Abb. 26) ist von der Mauer M1 das vorspringende Fundament zu sehen und darüber eine Akkumulation

Fassade an Stenopos 11, Ansicht



Schnitt

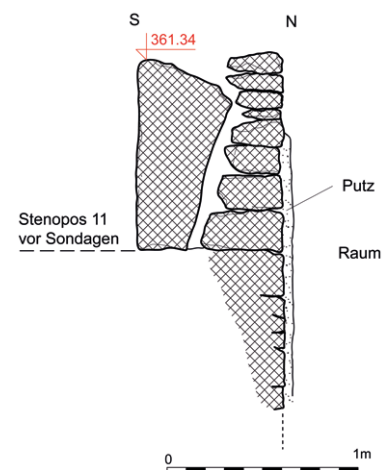


27

von kleinen Steinen, die sich deutlich von der südlich anschließenden Schicht mit kleinen Bimssteinen unterscheidet; dies könnte folglich die Verfüllung eines Fundamentgrabens sein, dessen Tiefe allerdings nicht zu erkennen ist. Auf diesem Befund basierend wird hier für beide Schnitte davon ausgegangen, dass die Bimssteinschicht II die älteste Schicht ist, in die Fundamentgräben für beide Mauern eingegraben wurden. Der Befund wurde so auch weitgehend 1992 auf der Zeichnung des Ostprofils (Abb. 25) eingetragen. Von unten nach oben ergibt sich wiederum folgende Abfolge:

- II: Über dem Felsen wurde im südlichen Teil eine feste Bimssteinverfüllung gefunden, die im nördlichen Teil etwas lockerer war und auch Schotter und Scherben enthielt. Für diese Schicht wurden aber keine weiteren Funde vermerkt, die eine Datierung in archaische Zeit erhärten würden.
- Bau der Mauer M1 mit Baugrube C2 und Verfüllung I: Die Baugrube ist hier breiter als im Schnitt 1991 C. Die Verfüllung bestand aus lockerer grauer Erde mit Schotter und hellenistischen Scherben, darunter eine rote Lampenschnauze.
- Bau der Mauer M2 mit Baugrube C1 und Verfüllung V, gleichzeitig mit dem Bau von M1: Die Baugrube ist deutlich schmaler als für M1, deren Fundament auch weiter vorspringt als das von M2. Die Verfüllung bestand aus lockerer grauer Erde.
- IV: Die Schicht zog über beide Fundamentgräben und bestand aus grauer Erde, Schotter und viel Keramik, u. a. Fragmente von feinen Megarischen Bechern mit metallischem Glanz, Tellern und Schalen. Das Pflaster M3 wurde hier nicht angetroffen.
- VI: In dieser 10 cm starken Lage dunkler Erde wurde eine vielleicht augusteische Lampenscherbe gefunden.

Thera, Stenopos 11, Mauer M1



Thera, Stenopos 11, Mauer M1, Schnitt

28

Abb. 27: Straße 11, Sondagen 1991 C und 1992 G. Ansicht der Mauer M1 (M. 1 : 50)

Abb. 28: Straße 11, Sondagen 1991 C und 1992 G. Schnitt durch Mauer M1 (M. 1 : 40)

Auswertung

56 Die beiden Schnitte in der Straße 11 lassen sich zwar nicht vollständig bewerten, weil die Keramik nicht analysiert werden konnte, aber einige wichtige Erkenntnisse können dennoch festgehalten werden. Die Mauer M1, die Hiller von Gaertringen wegen ihrer Machart für archaisch hielt, ist sicher nicht vor der hellenistischen Zeit errichtet worden. Sie ist aus großen Blöcken sorgfältig gefügt (Abb. 21. 27). Die nördliche Schale im Innenraum des Hauses, dessen Fußboden unter dem Straßenniveau lag, ist aus kleinen Bruchsteinen gemacht und weist Putzreste auf (Abb. 28).

57 Wann genau in der hellenistischen Zeit die Mauern M1 und M2 errichtet wurden, ist nicht festzustellen. Die megarischen Becher aus der Straßenschicht IV mögen auf die Zeit der Ptolemäerherrschaft hindeuten. Diese Schicht liefert einen Terminus ante quem für die beiden Fundamentgräben und Mauern, aber da sie der einzige fassbare Straßenbelag ist, dürfte zwischen dem Bau der Mauern und der Einbringung von Schicht IV nicht viel Zeit vergangen sein. Ob M3 ein separates Steinpflaster war und ob dieses gleichzeitig mit Schicht IV oder zu einem späteren Zeitpunkt als mögliche Erneuerung der Straße verlegt wurde, ist ebenfalls nicht mehr sicher zu bestimmen.

58 Die feste Bimssteinschicht wird hier als älteste anthropogene Schicht gedeutet, aber ob sie wirklich schon in archaischer Zeit, wie nur der unterste Abhub von 1991 nahelegt, oder irgendwann später aufgefüllt wurde, muss offenbleiben. Während die Bimssteinschichten in den Schnitten an der Basilike Stoa fundleer waren, wurden hier Scherben gefunden; aber ihre Zahl und Datierung kann nicht mehr ermittelt werden.

59 Es ist durchaus naheliegend, dass Bimsstein in verschiedenen Phasen der Stadtentwicklung zur Terrassierung und Nivellierung verwendet wurde, etwa in archaischer Zeit und beim hellenistischen Ausbau der Stadt. Das ungefähr regelmäßige Straßennetz im Zentrum der Stadt dürfte auf die hellenistische Stadtplanung zurückgehen und die Sondagen in der Straße 11 belegen dies deutlicher als die Sondagen an der Basilike Stoa: Nur hier wurde der Felsen unter der Bimssteinschicht erreicht und kein Straßenbelag unter oder über der Bimssteinschicht gefunden, der aus archaischer Zeit stammen könnte. Die Tatsache, dass in der Straße 11 nur ein einziger Belag sicher zu identifizieren ist, dürfte auf den Charakter der Straße zurückgehen, die als Nebenstraße fungierte. Dagegen scheint die Straße F zwischen der Basilike Stoa und den westlich gelegenen Bauten, die vermutlich zumindest partiell öffentliche Funktion hatten, deutlich frequenter gewesen zu sein, weshalb hier der Straßenbelag mehrfach erneuert werden musste und auch ein großer Abwasserkanal gebaut wurde.

Fazit

60 Trotz ihres begrenzten Umfangs haben die hier vorgestellten Sondagen zentrale Erkenntnisse für die urbanistische Entwicklung der antiken Stadt Thera geliefert.

61 Das vermutlich in archaischer Zeit errichtete Apollon Karneios-Heiligtum wurde in hellenistischer Zeit nicht nur weiter frequentiert, sondern sogar maßgeblich ausgebaut und modernisiert. Es war mindestens bis in die frühe Kaiserzeit ein zentrales städtisches Heiligtum, das unter anderem vom Demos für Statuenweihungen genutzt wurde. Maßnahmen und Intentionen der Umbauten in hellenistisch-römischer Zeit sollten künftig näher analysiert werden und können einen wichtigen Beitrag zu aktuellen Forschungsdebatten liefern, die verstärkt die Transformation und Nutzung älterer griechischer Heiligtümer in hellenistischer und römischer Zeit untersuchen⁶³. Darüber hinaus würde eine Kontextualisierung der Nutzungsgeschichte im weiteren urbanen Raum das Bild sicher weiter differenzieren lassen; dies kann hier aber nicht geleistet werden. Erwähnt sei nur, dass

63 Vgl. oben Anm. 48.

etwa das benachbarte Ephebengymasion (Abb. 1; Nr. 54–57) in der Kaiserzeit erweitert und ausgebaut wurde, u. a. mit einer modernen Badeanlage, die mit einem Hypokaustensystem ausgestattet war (Abb. 1; Nr. 52, 53). Eine holistische diachrone Untersuchung der sakralen Topographie des antiken Thera würde signifikant dazu beitragen, die Entwicklung und Bedeutung des Apollon Karneios-Heiligtums im lokalen Kontext zu bewerten.

62 Die Anlage der Straße 11 sowie ihre Randbebauung gehen sicher erst auf die hellenistische Phase der Stadt zurück. Die hier und an anderen Stellen angetroffene Nivellierung mit mächtigen Bimssteinschichten spricht für konzertierte Planungen durch öffentliche Institutionen oder Gruppen, aber wann dies jeweils genau erfolgte, muss derzeit offenbleiben.

63 Eine flächendeckende Aufschüttung im Stadtzentrum in der archaischen Zeit wäre eine bemerkenswerte Maßnahme und Leistung, deren Ziel man genauer analysieren und erklären müsste. Hoepfner rekonstruierte die archaische Stadt als eine kleine Höhengründung mit Einraumhäusern, die auf Terrassen geringer Tiefe verteilt waren, wobei nur ein etwa 100 m × 100 m großes Gebiet ausreichend Schutz vor Winden geboten habe. Die Wohnterrassen seien von Heiligtümern im Norden und Südosten flankiert worden. In der Stadtmittle habe es möglicherweise damals schon eine als Agora konzipierte größere Freifläche gegeben⁶⁴. Bislang ist aber keine einzige Terrassenmauer im Stadtzentrum sicher in die archaische Zeit zu datieren⁶⁵ und es sind auch keine Reste von Wohnhäusern oder öffentlichen Bauten aus dieser Zeit unbestritten identifiziert worden. Keiner der Straßenbeläge, die in den Sondagen an der Basilike Stoa und in der Straße 11 freigelegt wurden, kann sicher in die archaische Zeit datiert werden; vielmehr sind die meisten nachweislich nicht vor der hellenistischen Zeit verlegt worden. In der Straße F westlich der Basilike Stoa nutzte man auch die Bimsschichten zweifellos erst in der hellenistischen Zeit, um erhebliche Niveaudifferenzen im Terrain auszugleichen.

64 Die Sondagen an der Basilike Stoa sowie die hier vorgestellten Schnitte haben gezeigt, dass in der antiken Stadt Thera dringend weitere stratigraphische Grabungen durchgeführt werden sollten, um die angeschnittenen Fragen klären und die Geschichte der Stadt auf einem solideren Fundament rekonstruieren zu können.

Die Keramik aus der Sondage 1994 A

65 Die Keramik wurde erstmals 1995 von Rainer Komp bearbeitet und vorläufig ausgewertet. Die detaillierte Bearbeitung der Keramikfunde für die vorliegende Publikation durch Benjamin Engels erfolgte ohne Autopsie des Materials allein auf Grundlage der Dokumentation in Zeichnungen und wenigen Schwarzweiß-Sammelaufnahmen. Sämtliche Farb- und Fabrikatbeschreibungen sowie die Maße wurden unverändert aus der Grabungsdatenbank übernommen. Das darin liegende Fehlerpotential ist dem Bearbeiter bewusst und äußert sich in einer im Zweifelsfall zurückhaltenden Datierung und Bestimmung der Warenarten und Typen.

Stratum I

Die wenigen diagnostischen Profile, insbesondere der Amphorenrand **K 2**, deuten auf einen Datierungsrahmen vom 1. Jh. v. Chr. bis ins 1. Jh. n. Chr. hin.

64 Hoepfner 1997.

65 Kose u. a. 2022, 172 Anm. 15–17; 198–200.

Stratum II

Beide Randscherben sprechen für eine spätarchaische Datierung, die Amphora **K 5** gibt einen Terminus post quem in der zweiten Hälfte des 6. Jhs. v. Chr.

Stratum III

Die Laufzeiten der beiden Randscherben ergeben einen Datierungsrahmen vom 4. bis ins 2. Jh. v. Chr., der Becher **K 6** gibt einen Terminus post quem im 3. Jh. v. Chr.

Stratum IV

Da Stratum IV Teil des Abhubs 4 ist, der sich über mehrere Schichten verteilt, kann die Keramik nicht mehr sicher zugeordnet werden.

Stratum V

Da Stratum V Teil der Abhübe 4 und 5 ist, die sich über mehrere Schichten verteilen, kann die Keramik nicht mehr sicher zugeordnet werden.

Stratum VI

Das älteste Stück aus diesem Stratum ist die Kotyle **K 9**, die in die zweite Hälfte des 7. Jhs. v. Chr. datiert werden kann. Die jüngsten Stücke sind die mittel- bis spätkorinthischen Salbgefäße **K 10**, **K 11**, **K 12** und **K 13**. Insgesamt ergibt sich damit ein Datierungsrahmen von der Mitte des 7. bis zur Mitte des 6. Jhs. v. Chr.

Stratum VII

Da Stratum VII Teil des Abhubs 7 ist, der sich über mehrere Schichten verteilt, kann die Keramik nicht mehr sicher zugeordnet werden.

Stratum VIII

Fundleer.

Stratum IX

Das mit geritztem Schuppenmuster verzierte Wandfragment **K 19** weist ins späte 7. bis in die erste Hälfte des 6. Jhs. v. Chr.

Stratum X

Fundleer.

Stratum XI

Dieses Stratum hat einen sehr deutlichen chronologischen Schwerpunkt im 4. und frühen 3. Jh. v. Chr., was durch eine Reihe von Trinkgefäßfragmenten (**K 22**; **K 23**; **K 25**; **K 26**; **K 27**; **K 28**; **K 29**; **K 30**), aber auch durch den Amphorenrand **K 36** belegt wird. Außerdem finden sich einige deutlich ältere Stücke: Der Krug **K 32** kann ins späte 6./frühe 5. Jh. v. Chr. datiert werden, die Laufzeit des Skyphos **K 24** beginnt noch im späten 5. Jh. und die Schüssel **K 31** sowie der Amphorenfuß **K 38** können um 400 v. Chr. datiert werden. Angesichts der jüngeren Trinkgefäßstypen ist von einem Terminus post quem im frühen 3. Jh. auszugehen.

66 Katalog

Alle Maße in cm

Abkürzungen:

R: Radius

Wst: Wandstärke

erhH: erhaltene Höhe

Dm: Durchmesser

Stratum I

K 1 Teller – Abb. 29

Abhub 1 – Inv. K94-5

R – 26; Wst – 0,2; erhH – 2

Feinkeramik – Ton: körnig, blassorange. – Oberfläche: außen orangefarbener Überzug mit beigefarbenem Streifen am Rand; innen orangefarbener Überzug

Ein Randfragment. Schräge Wandung mit kräftig nach innen verdicktem und außen scharfkantig abgesetztem Rand

Dat.: späthellenistisch?

K 2 Amphora – Abb. 29

Abhub 1 – Inv. K94-4

R – 11,8; Wst – 0,7; erhH – 4,2

Gebrauchskeramik – Ton: körnig, dunkelrot; mäßig mittelgrober Kalk. – Oberfläche: außen graubrauner Überzug; innen brauner Überzug

Ein Randfragment. Steile Wandung mit rundlich verdicktem und außen scharf abgesetztem Rand

Vgl.: Bezczyk 2013, 56–61 (Type 4); Peacock – Williams 1986, 102–106 (Class 9/10)

Dat.: 1. Jh. v. Chr. – 1. Jh. n. Chr.

K 3 Krug – Abb. 29

Abhub 1 – Inv. K94-6

F – 3,8; Wst – 0,1; erhH – 1

Feinkeramik – Ton: braun-orange; mäßig mittelgrober Kalk, mäßig mittelgrober Glimmer. – Oberfläche: außen braunroter Überzug, Bodenunterseite tongrundig; innen tongrundig

Ein Bodenfragment. Flacher Boden mit schräg aufsteigender Wandung

Stratum II

K 4 Knickrandschale – Abb. 29

Abhub 2 – Inv. K94-11

R – 12; Wst – 0,3; erhH – 2,5

Feinkeramik – Ton: blassorange; wenig mittelgrober Kalk, wenig mittelgrober Glimmer. – Oberfläche: außen/innen tongrundig

Zwei anpassende Randfragmente. Bauchiger Gefäßkörper mit langem, schräg nach außen geknicktem, geradem Rand

Dat.: 6. Jh. v. Chr.

K 5 Amphora – Abb. 29

Abhub 2 – Inv. K94-13

R – 19; Wst – 1; erhH – 3,4

Gebrauchskeramik – Oberfläche: außen braungrauer Überzug, auf dem Rand unregelmäßig abgesetzte dichte beigefarbene Schlämme; innen dichte beigefarbene Schlämme

Zwei anpassende Randfragmente. Schräg nach außen geneigter Hals mit spitzoval verdicktem, nach außen abgesetztem Rand

Vgl.: Johnston 1990, 42 Kat. 42; Monachov 2003, Taf. 19, 3

Dat.: 2. Hälfte 6. Jh. v. Chr.

Stratum III

K 6 Becher – Abb. 29

Abhub 3 – Inv. K94-18

R – 19; Wst – 0,4; erhH – 2,9

Feinkeramik – Ton: feinporig, grau. – Oberfläche: außen/innen sandig mit mattem schwarzem Überzug. – Dekor: außen zwei horizontale Kehlen

Ein Randfragment. Gleichmäßig einbiegender Rand mit breiten, klar akzentuierten Kehlen auf der Außenseite

Vgl.: Behr 1988, 149 f. Kat. 55–59 Abb. 13. 14; Edwards 1975, 93 Kat. 551 Taf. 17. 56; Mitsopoulos-Leon 1991, 48 f. Kat. B 68. 71 Taf. 40. 41; Rotroff 1997, 275 Kat. 311. 315 Taf. 32 Abb. 20; Smetana-Scherrer 1982, 72 Kat. 523 Taf. 40 (1. Hälfte 3. Jh. v. Chr.)

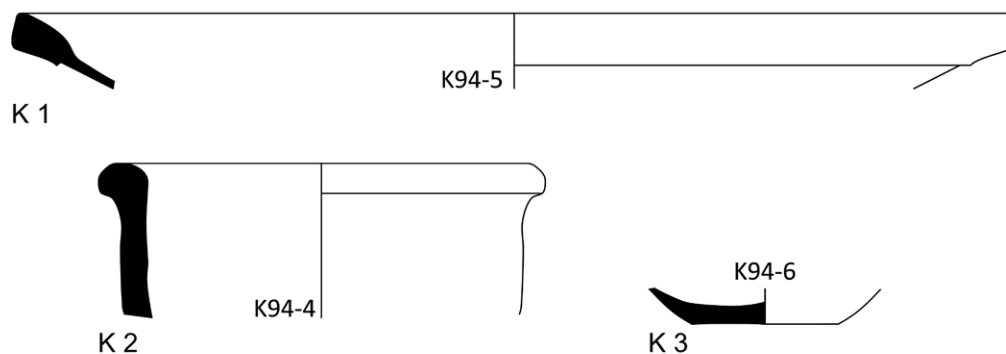
Dat.: 3.–2. Jh. v. Chr.

K 7 Miniaturkrug – Abb. 29

Abhub 3 – Inv. K94-17

R – 5,8; Wst – 0,7; erhH – 1,85

Stratum I



Stratum II



Stratum III



Abb. 29: Sondage 1994 A, Keramik aus den Straten I, II und III (alle Zeichnungen M. 1 : 2)



Feinkeramik – Oberfläche: außen/innen grauschwarzer Überzug

Ein Randfragment. Bauchiger Körper mit stark ausbiegendem Rand

Vgl.: Berlin 2002, 149 Kat. 22 Taf. 5; Edwards 1975, 101 Kat. 591. 596 Taf. 20. 58; Rotroff 1997, 300 Kat. 552 Abb. 40 Taf. 52

Dat.: 4.–2. Jh. v. Chr.

Stratum VI

K 8 Knickrandschale – Abb. 30

Abhub 6 – Inv. K94-53

R – 10,8; Wst – 0,3 bis 0,4; erhH – 2,4

Feinkeramik – Ton: beigebraun; mäßig mittelgrober Kalk. – Oberfläche: außen tongrundig mit Horizontalstreifen

Ein Randfragment. Bauchiger Gefäßkörper mit geradem, schräg nach außen geknicktem Rand

Dat.: archaisch

K 9 Kotyle – Abb. 30

Abhub 6 – Inv. K94-56

R – 6,6; Wst – 0,2 bis 0,3; erhH – 3,5

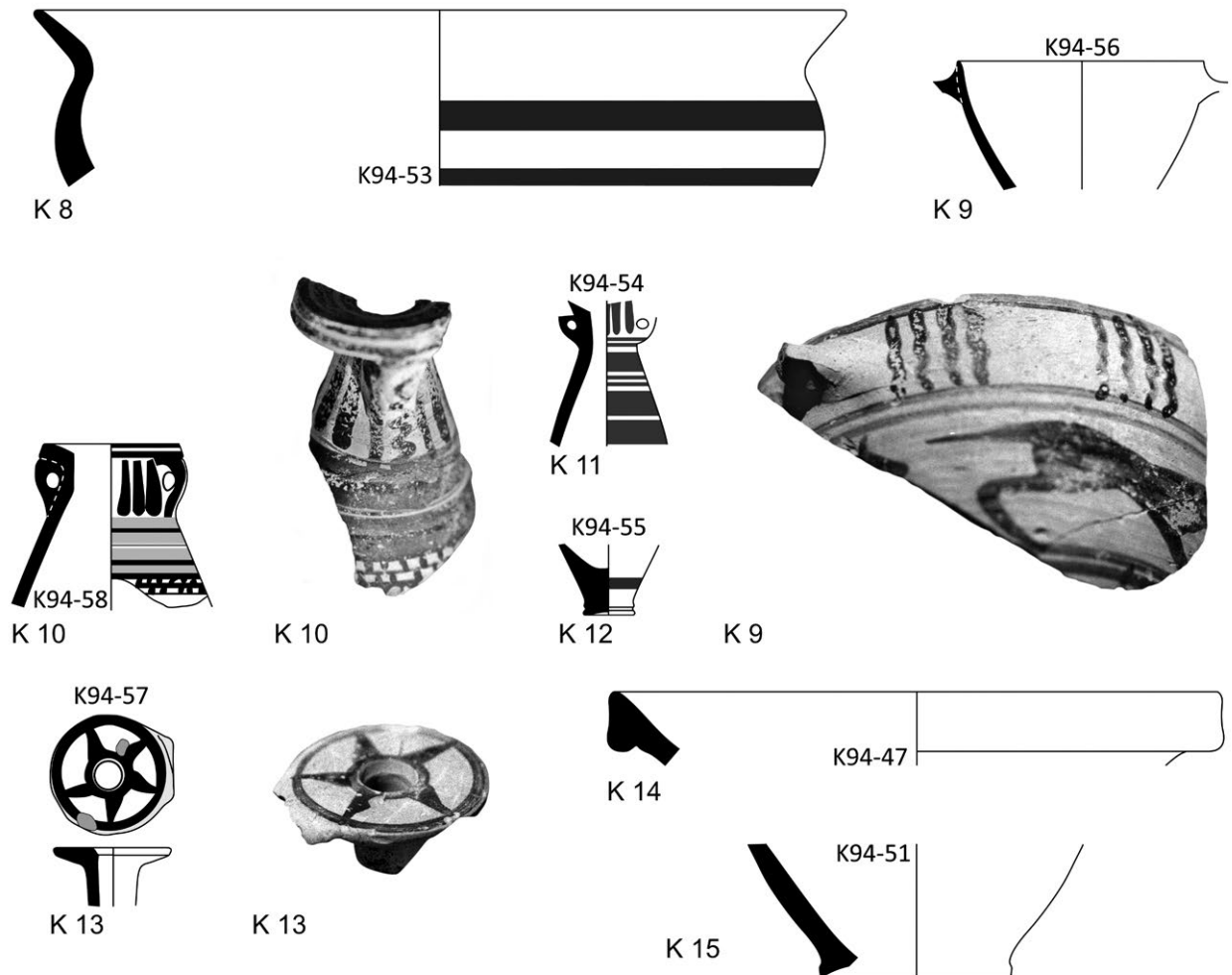
Feinkeramik – Ton: beigebraun; mäßig mittelgrober Glimmer. – Oberfläche: tongrundig mit Bemalung (zwei jeweils von Horizontalstreifen gerahmte Friese: oben: Gruppen aus je vier Vertikalstreifen; unten: Tierfries) in rotbraun changierendem Überzug; innen rotbraun changierender Überzug

Ein Randfragment mit Ansatzstelle eines Vertikalhenkels. Konischer Gefäßkörper mit leicht einbiegendem, spitz zulaufendem Rand

Vgl.: Weinberg 1943, 47 Kat. 160 Taf. 23

Dat.: 2. Hälfte 7. Jh. v. Chr.

Stratum VI



Stratum IX

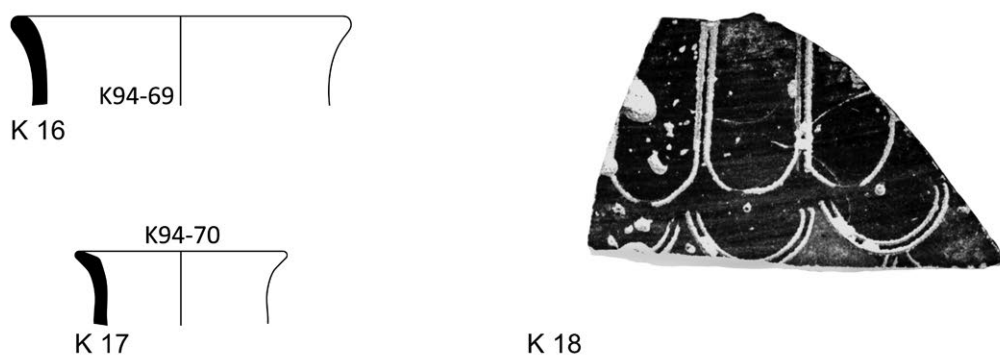
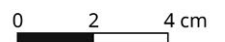


Abb. 30: Sondage 1994 A, Keramik aus den Straten VI und IX (alle Zeichnungen M. 1 : 2)



K 10 Alabastron – Abb. 30

Abhub 6 – Inv.-Nr.: K94-58

R – 3,6; Wst – 0,35; erhH – 4,3

Feinkeramik – Ton: beige-grau. – Oberfläche: außen
geglättet mit Bemalung (Horizontalstreifen und

Schachbrettmuster auf dem Körper und am Rand;
Vertikalstreifen in der Henkelzone) in schwarzem,
braunem und dunkelrotem Überzug; innen ton-
grundig mit Wischspuren

Ein Randfragment mit vertikalem Ösenhenkel. Straffer, leicht bauchiger Gefäßkörper mit kurzem Hals und kantig ausbiegendem Rand mit rechteckigem Querschnitt

Vgl. Gasser 1990, 19 Kat. K14 Taf. 8; Payne 1931, 283 f. Nr. 376. 377 Abb. 121. 121 bis

Dat.: letztes Viertel 7. Jh. v. Chr.

K 11 Alabastron – Abb. 30

Abhub 6 – Inv. K94-54

R – 1,6; Wst – 0,2 bis 0,3; erhH – 4

Feinkeramik – Ton: porös, beige-gräulich. – Oberfläche: außen poliert; innen Schlickerreste. – Dekor: außen Bemalung (unterschiedlich breite Horizontalstreifen auf dem Gefäßkörper, Vertikalstreifen am Hals) in schwarzem Überzug

Ein Wandfragment mit vertikalem Ösenhenkel. Straffer, leicht bauchiger Körper mit schmalem, nach oben trichterförmig ausbiegendem Hals

Dat.: letztes Viertel 7. Jh. v. Chr. – 1. Hälfte 6. Jh. v. Chr.

K 12 Aryballos – Abb. 30

Abhub 6 – Inv. K94-55

F – 1,4; BH – 0,3; Wst – 0,2; erhH – 1,9

Feinkeramik – Ton: porös, beige-gräulich. – Oberfläche: außen poliert; innen tongrundig. – Dekor: außen ein Horizontalstreifen in schwarzem Überzug

Ein Bodenfragment. Recht steil aufsteigende Wandung auf einem auf der Unterseite konkav eingezogenen und außen mit zwei Wülsten profilierten Boden

Dat.: letztes Viertel 7. Jh. v. Chr. – 1. Hälfte 6. Jh. v. Chr.

K 13 Aryballos – Abb. 30

Abhub 6 – Inv. K94-57

R – 3,2; Wst – 0,3; erhH – 1,7

Feinkeramik – Ton: dunkelbeige. – Oberfläche: außen tongrundig mit Bemalung (Radmuster mit zwei konzentrischen Streifen und vier Verbindungslinien auf der Randoberseite) in schwarzem Überzug; innen tongrundig

Ein Randfragment. Schmäler vertikaler Hals mit dreieckig ausgezogenem, weit ausladendem Horizontalrand

Dat.: letztes Viertel 7. Jh. v. Chr. – 1. Hälfte 6. Jh. v. Chr.

K 14 Schüssel – Abb. 30

Abhub 6 – Inv. K94-47

R – 16; Wst – 0,6; erhH – 2

Gebrauchskeramik – Ton: braunrot; mäßig mittelgrober Kalk, mäßig mittelgrober Quarz, mäßig mittelgrober Glimmer. – Oberfläche: außen/innen braungrauer Überzug

Ein Randfragment. Spitz zulaufender, gerader Rand mit einem tropfenförmig verdickten und durch eine Kehle abgesetzten Kragen auf der Außenseite

K 15 Krug – Abb. 30

Abhub 6 – Inv. K94-51

F – 5; BH – 0,4; Wst – 0,4 bis 0,5; erhH – 3,6

Feinkeramik – Oberfläche: außen schwarzer bis rotbrauner Überzug; innen rotbrauner Überzug

Ein Fußfragment. Straffer, leicht bauchiger Gefäßkörper auf niedrigem, außen durch eine flache Kehle abgesetztem, unten spitz zulaufendem Standring

Stratum IX

K 16 Krug/Amphora – Abb. 30

Abhub 8 – Inv. K94-69

R – 9; Wst – 0,4; erhH – 2,4

Gebrauchskeramik – Ton: braun; mäßig mittelgrober Kalk, wenig mittelgrober Quarz, wenig mittelgrober Glimmer. – Oberfläche: außen/innen tongrundig

Ein Randfragment. Gerader Hals mit ausbiegendem, leicht verdicktem Rand

K 17 Krug – Abb. 30

Abhub 8 – Inv. K94-70

R – 5,9; Wst – 0,3; erhH – 2

Gebrauchskeramik – Ton: blassorange; mäßig mittelgrober Kalk, mäßig mittelgrober Glimmer – Oberfläche: außen/innen tongrundig

Ein Randfragment. Leicht konvex gewölbter Hals mit ausbiegendem, innen dreieckig verdicktem Rand

K 18 – Abb. 30

Abhub 8 – Inv. K94-73

Wst – 0,4; erhDm – 24; erhH – 1,8

Feinkeramik – Oberfläche: außen glänzend schwarzer und rotbrauner Überzug; innen tongrundig. – Dekor: außen Ritzung (Schuppenmuster)

Ein Wandfragment

Dat.: spätes 7. – 1. Hälfte 6. Jh. v. Chr.

Stratum XI

K 19 Skyphos – Abb. 31

Abhub 10 – Inv. K94-82

R – 18; Wst – 0,4 bis 0,5; erhH – 4,1

Feinkeramik – Ton: braunrot. Oberfläche: außen/innen dichter, glänzend schwarzer Überzug

Ein Randfragment. Steile, unten leicht bauchige Wandung mit ausbiegendem Rand

Vgl.: Edwards 1975, 69 Kat. 323 Taf. 13. 50; Rotroff 1997, 258 Kat. 152. 153 Abb. 12 Taf. 14; Smetana-Scherrer 1982, 66 Kat. 455 Abb. 50; Sparkes – Talcott 1970, 260 Kat. 349 Abb. 4; 279 Kat. 608 Taf. 26. 55 Abb. 6

Dat.: 4. – frühes 3. Jh. v. Chr.

K 20 Skyphos – Abb. 31

Abhub 11 – Inv. K94-96

R – 9; Wst – 0,3; erhH – 2,3

Feinkeramik – Ton: braungrau. – Oberfläche: außen/innen matt, tongrundig; innen mit Wischspuren

Ein Randfragment. Steile Wandung mit ausbiegendem Rand

Vgl.: Berlin 2002, 148 Kat. 19 Taf. 4; Edwards 1975, 69 Kat. 313 Taf. 13. 50; Smetana-Scherrer 1982, 66 Kat. 454 Abb. 49

Dat.: 4. Jh. v. Chr.

K 21 Skyphos – Abb. 31

Abhub 10 – Inv. K94-83

R – 9; Wst – 0,35; erhH – 2,2

Feinkeramik – Ton: feinporig, grau. – Oberfläche: außen/innen dichter, glänzend schwarzer Überzug

Ein Randfragment. Steile Wandung mit leicht ausbiegendem, spitz zulaufendem Rand

Vgl.: Berlin 2002, 149 Kat. 22 Taf. 5; Edwards 1975, 71 Kat. 367 Taf. 14. 50; Sparkes – Talcott 1970, 260 Kat. 359 Abb. 4; 277 Kat. 588 Taf. 54 Abb. 6

Dat.: spätes 5. – 4. Jh. v. Chr.

K 22 Skyphos – Abb. 31

Abhub 11 – Inv. K94-92

F – 9; BH – 0,9; Wst – 0,4; erhH – 2,6

Feinkeramik – Ton: grau; mäßig feiner Kalk. – Oberfläche: außen/innen dichter, glänzend dunkelgrauer Überzug

Ein Fußfragment. Steil aufsteigende Wandung auf einem weit ausgestellten, rundlich verdickten Standring

Dat.: 4. – frühes 3. Jh. v. Chr.

K 23 Kantharos – Abb. 31

Abhub 11 – Inv. K94-98

R – 7; Wst – 0,5; erhH – 2,2

Feinkeramik – Ton: grau-blassorange. – Oberfläche: außen/innen dichter, glänzend schwarzer Überzug

Ein Randfragment mit Henkelansatz. Ausbiegender, spitz zulaufender Rand

Vgl.: Rotroff 1997, 248 f. Kat. 70. 72 Abb. 7. 8 Taf. 7; 252 Kat. 102. 103 Abb. 10 Taf. 10

Dat.: Mitte 4. – frühes 3. Jh. v. Chr.

K 24 Kantharos

Abhub 10 – Inv. K94-85

H – 1,1; B – 1,7

Feinkeramik – Ton: hellbraun-blassorange. – Oberfläche: außen silbrig glänzend schwarzer Überzug

Ein Henkelfragment mit Daumenplatte

Dat.: 4. Jh. v. Chr.?

K 25 Kantharos

Abhub 11 – Inv. K94-99

Ohne Maße

Feinkeramik – Ton: beigebraun. – Oberfläche: glänzend schwarzer Überzug

Ein Henkel mit dreieckiger Daumenplatte

Dat.: 4. – frühes 3. Jh. v. Chr.

K 26 Kantharos

Abhub 11 – Inv. K94-100

Ohne Maße

Feinkeramik – Oberfläche: glänzend schwarzer Überzug

Ein Henkel mit dreieckiger Daumenplatte

Dat.: 4. – frühes 3. Jh. v. Chr.

K 27 Kantharos

Abhub 11 – Inv. K94-101

Ohne Maße

Feinkeramik – Ton: orangebraun. – Oberfläche: außen silbrig glänzend schwarzer Überzug

Ein Henkel mit dreieckiger Daumenplatte

Dat.: 4. – frühes 3. Jh. v. Chr.

K 28 Schüssel – Abb. 31

Abhub 11 – Inv. K94-91

R – 13; Wst – 0,3; erhH – 2,3

Feinkeramik – Ton: blassorange. – Oberfläche: außen/innen changierend roter bis schwarzer Überzug

Ein Randfragment. Halbrunder Gefäßkörper mit leicht nach außen ausgezogenem Steilrand

Vgl.: Sparkes – Talcott 1970, 290 Kat. 754 Abb. 8; s. aber für einen ähnlichen späthellenistischen Typus Engels 2021, 55–59 (Typ B1.2)

Dat.: spätes 5. Jh. v. Chr.

K 29 Krug – Abb. 31

Abhub 11 – Inv. K94-88

R – 21; Wst – 0,9; erhH – 3,8

Feinkeramik – Ton: orangebraun; mäßig mittelgrober Kalk, mäßig mittelgrober Quarz. – Oberfläche: außen beigefarbene Schlämme mit einem rotbraunen Streifen unter dem Rand; innen tongrundig

Ein Randfragment. Konischer Gefäßkörper mit leicht ausbiegendem, nach innen dreieckig verdicktem Rand

Vgl.: Sparkes – Talcott 1970, 246 Kat. 144 Taf. 8 Abb. 3; 351 Kat. 1633 Taf. 75 Abb. 17

Dat.: spätes 6./frühes 5. Jh. v. Chr.

K 30 Krug/Amphora – Abb. 31

Abhub 11 – Inv. K94-90

Dm max. – 13; Wst – 0,5 bis 0,7; erhH – 8,9

Feinkeramik – Ton: hellbraun; mäßig mittelgrober Kalk. – Oberfläche: außen beigefarbene Schlämme mit rotbraunen Horizontalstreifen; innen tongrundig

Ein Wandfragment mit Horizontalhenkel mit rundem Querschnitt. Bauchiger Gefäßkörper

K 31 Deckel – Abb. 31

Abhub 10 – Inv. K94-84

R – 14; Wst – 0,5; erhH – 1,8

Feinkeramik – Ton: feinporig, braun; mäßig mittelgrober Kalk, mäßig mittelgrober Glimmer. – Oberfläche: außen/innen matter schwarzer Firnis

Ein Randfragment. Leicht gewölbte Wandung mit tropfenförmig verdicktem, durch eine tiefe Kehle abgesetztem Rand

K 32 Schüssel – Abb. 31

Abhub 10 – Inv. K94-78

R – 22; Wst – 0,6; erhH – 2,6

Gebrauchskeramik – Ton: geschichtet, beigebraun; mäßig mittelgrober Kalk, mäßig mittelgrober Quarz, mäßig mittelgrober Glimmer. – Oberfläche: außen/innen tongrundig

Ein Randfragment. Schräge Wandung mit leicht nach oben geknicktem Horizontalrand

Vgl.: Jones 1950, 228 Kat. 209 Abb. 185; Kose 1997, 114 Kat. 181; Rotroff 2006, 277 Kat. 301 Abb. 51

Dat.: hellenistisch

K 33 Schüssel – Abb. 31

Abhub 11 – Inv. K94-97

R – 5; Wst – 0,4; erhH – 2,2

Gebrauchskeramik – Ton: rotbraun; mäßig feiner Kalk. – Oberfläche: außen/innen sandig, matt, tongrundig

Ein Randfragment. Halbkugelförmiger Körper mit leicht nach außen ausgezogenem Rand

K 34 Amphora – Abb. 31

Abhub 10 – Inv. K94-79

gDm – 20; R – 17,6; Wst – 0,5; erhH – 2,6

Gebrauchskeramik – Ton: orangebraun; mäßig mittelgrober Kalk, mäßig mittelgrober Quarz, wenig mittelgrober Glimmer. – Oberfläche: außen/innen tongrundig

Ein Randfragment. Weit ausladender dreieckig verdickter Rand (*mushroom rim*)

Vgl.: Peacock – Williams 1986, 84 f.; Monachov 2003, Taf. 71. 72; Lawall 2002, 224 Kat. 79 Abb. 12. – Zum Typ: Will 1982 (»Greco-Italic Amphora«)

Dat.: 4.–2. Jh. v. Chr.

K 35 Amphora – Abb. 31

Abhub 10 – Inv. K94-86

F – 16; BH – 2,8; erhH – 3,6

Feinkeramik – Ton: hellbraun; mäßig mittelgrober Kalk, wenig mittelgrober Glimmer. – Oberfläche: außen dichter, glänzend schwarzer Überzug

Ein Fußfragment. Kräftiger, schräg ausgestellter, oben mehrfach profilierter und unten rundlich ausgezogener Standring

Vgl.: Isler 1978, 108 f. Kat. 234 Beil. 7

Dat.: um 400 v. Chr.

K 36 – Abb. 31

Abhub 10 – Inv. K94-77

F – 15; BH – 1,8; erhH – 2,4

Gebrauchskeramik – Ton: braunrot; mäßig mittelgrober Quarz, mäßig mittelgrober Glimmer. – Oberfläche: außen/innen tongrundig

Ein Fußfragment. Schräg ausgestellter Standring

Stratum XI

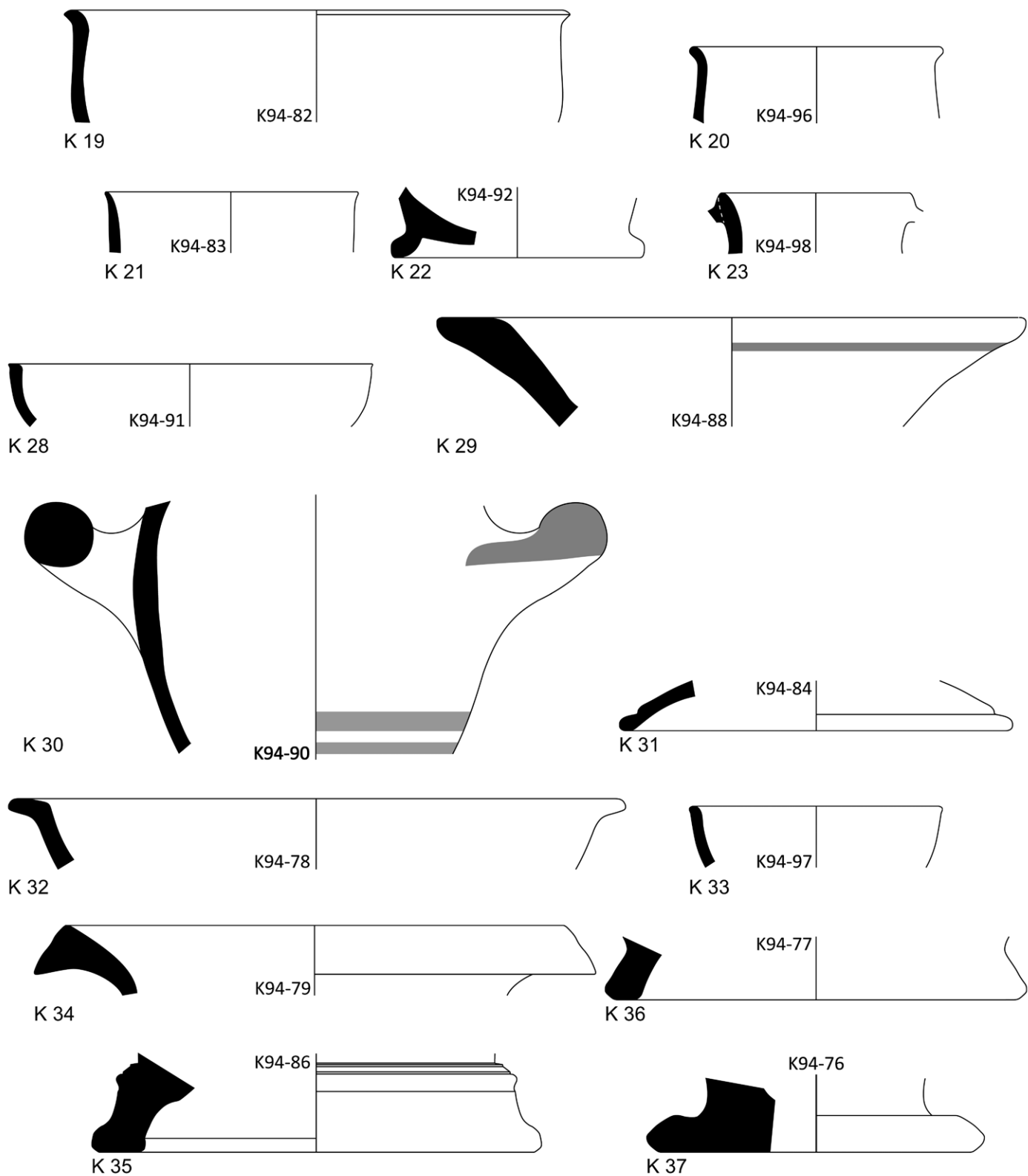
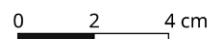


Abb. 31: Sondage 1994 A, Keramik aus Stratum XI (alle Zeichnungen M. 1 : 2)



K 37 – Abb. 31

Abhub 10 – Inv. K94-76

F – 12; BH – 1,4; erhH – 2,7

Gebrauchskeramik – Ton: orange; mäßig mittelgrober

Kalk, mäßig mittelgrober Glimmer. – Oberfläche: außen/innen beigefarbene Schlämme

Ein Fußfragment. Massiver, unten horizontal weit ausgezogener Standfuß mit vertikalem Schaft

Danksagung

⁶⁷ Dieses Projekt hätte ohne die großzügige Unterstützung verschiedener Personen und Institutionen nicht durchgeführt werden können, denen hier allen herzlich gedankt sei. Wolfram Hoepfner hat das Projekt seinerzeit in Thera durchgeführt und uns großzügig das Material zur Publikation überlassen. Rainer Komp hat mit viel Engagement die Schnitte am Apollon Karneios-Heiligtum und der Basilike Stoa angelegt und vorläufig ausgewertet sowie uns großzügig die unpublizierte Dokumentation zu den Schnitten überlassen. Die Schnitte in der Straße 11 hat Hoepfner angelegt.

⁶⁸ Die Fritz Thyssen Stiftung hatte nicht nur Hoepfners Projekt in den 1990ern finanziert, sondern hat jetzt auch die Fertigstellung mit generöser Förderung ermöglicht. Personelle und finanzielle Unterstützung verdanken wir ebenfalls der Freien Universität Berlin. Das Deutsche Archäologische Institut in Athen hat dankenswerter Weise Fotos aus den alten Thera-Archiven gescannt und die Druckgenehmigung erteilt. Jana Skundrič-Rummel hat die zahlreichen Bleistiftzeichnungen des Projekts digitalisiert. Kristina Bolz und Marie Theres Wittmann haben die Forschungsarbeiten und die Endredaktion tatkräftig unterstützt. Dem anonymen Peer-Review verdanken wir wichtige Kommentare.

Abkürzungen

- Behr 1988** D. Behr, Neue Ergebnisse zur pergamenischen Westabhangkeramik, *IstMitt* 38, 1988, 97–187
- Berlin 2002** A. M. Berlin, Ilios before Alexander. A Fourth Century B.C. Ritual Deposit, *StTroica* 12, 2002, 131–166
- Bezczeky 2013** T. Bezczeky, The Amphorae of Roman Ephesus, *FiE* 15, 1 (Wien 2013)
- Bitis 2013** I. Bitis, Water Supplying Methods in Ancient Thera. The Case of the Sanctuary of Apollo Karneios, *Water Science & Technology: Water Supply* 13, 3, 2013, 638–645, <https://doi.org/10.2166/ws.2013.017>
- Drerup 1969** H. Drerup, Griechische Baukunst in geometrischer Zeit (Göttingen 1969)
- Edwards 1975** G. R. Edwards, Corinthian Hellenistic Pottery, *Corinth* 7, 3 (Princeton 1975)
- von Ehrenheim u. a. 2019** H. von Ehrenheim – P. Klingborg – A. Frejman, Water at Ancient Greek Sanctuaries. Medium of Divine Presence or Commodity for Mortal Visitors?, *Journal of Archaeology and Ancient History (JAAH)* 26, 2019, 2–31
- Engels 2021** B. Engels, Das Grottenheiligtum am Osthang. Eine Mikrostudie zur späthellenistischen Kultpraxis, *AvP* 17 (Wiesbaden 2021)
- Eustathiou – Bitis 2006** M. Eustathiou – I. Bitis, Το ιερό του Απόλλωνα Καρνείων στην αρχαία Θήρα, in: N. Ch. Stampolidis (Hrsg.), *Γενέθλιον. Αναμνηστικός τόμος για την συμπλήρωση είκοσι χρόνων λειτουργίας του Μουσείου κυκλαδικής τέχνης* (Athen 2006) 117–126
- Galli 2013** M. Galli (Hrsg.), Roman Power and Greek Sanctuaries. Forms of Interaction and Communication (Athen 2013)
- Gasser 1990** A. Gasser, Die korinthische und attische Importkeramik vom Artemision in Ephesos, *FiE* 12, 1 (Wien 1990)
- Giese – Kose 2006** J. Giese – A. Kose, Zur Entwicklung der Agora von Thera, in: W. Hoepfner – L. Lehmann (Hrsg.), *Die griechische Agora. Bericht über ein Kolloquium am 16. März 2003 in Berlin, veranstaltet vom Institut für Klassische Archäologie der Freien Universität Berlin* (Mainz 2006) 75–101
- Haug – Müller 2020** A. Haug – A. Müller (Hrsg.), Hellenistic Architecture and Human Action. A Case of Reciprocal Influence (Leiden 2020)
- Hellmann 2006** M.-Ch. Hellmann, *L'architecture grecque 2. Architecture religieuse et funéraire* (Paris 2006)
- Hellmann 2010** M.-Ch. Hellmann, *L'architecture grecque 3. Habitat, urbanisme et fortifications* (Paris 2010)
- Hiller von Gaertringen 1899** F. Hiller von Gaertringen, Neue Ausgrabungen auf Thera. Vortrag gehalten am Winkelmannsfest der Berliner Archäologischen Gesellschaft 9. Dezember 1899, *AA* 1899, 181–192
- Hiller von Gaertringen 1934** F. Hiller von Gaertringen, *RE V 2* (1934) s. v. Thera (Geschichte) Sp. 2277–2302
- Hiller von Gaertringen 1937** F. Hiller von Gaertringen, *Theräische Studien*, *AEphem* 1937, 48–60
- Hoepfner 1997** W. Hoepfner, Auf der Suche nach der archaischen Stadt, in: *Thera V*, 9–16
- Inglese 2008** A. Inglese, Thera arcaica. Le iscrizioni rupestri dell'agora degli dei (Tivoli 2008)
- Isler 1978** H. P. Isler, Das archaische Nordtor und seine Umgebung im Heraion von Samos, *Samos* 4 (Bonn 1978)
- Jeffery 1990** L. Jeffery, *The Local Scripts of Archaic Greece* ²(Oxford 1990)
- Johnston 1990** A. Johnston, Aegina, Aphaia-Tempel XIII. The Storage Amphorae, *AA* 1990, 37–64
- Jones 1950** F. F. Jones, The Pottery, in: H. Goldman (Hrsg.), *Excavations at Gözlü Kule, Tarsus I. The Hellenistic and Roman Periods* (Princeton 1950) 149–296
- Kalpaxis 1976** A. E. Kalpaxis, Früharchaische Baukunst in Griechenland und Kleinasien (Athen 1976)
- Kose 1997** A. Kose, Die Höhle Philarou beim Felsheiligtum Christos, in: *Thera V*, 73–149
- Kose in Vorb.** A. Kose, Das Apollon Karneios-Heiligtum in Thera. Architektur, Entwicklung und Rekonstruktion (in Vorbereitung)
- Kose u. a. 2022** A. Kose – B. Engels – M. Trümper, Die Basilike Stoa an der Agora von Thera. Rekonstruktion ihrer Entwicklung auf Basis stratigraphischer Grabungen, *AA* 2022/1, 168–235
- Lawall 2002** M. Lawall, Ilios before Alexander. Amphoras and Economic Archaeology, *StTroica* 12, 2002, 197–243
- Mazarakis Ainian 1997** A. Mazarakis Ainian, From Rulers' Dwellings to Temples. Architecture, Religion and Society in Early Iron Age Greece (1100–700 B.C.) (Jonsered 1997)
- Mazarakis Ainian 2016** A. Mazarakis Ainian, Early Greek Temples, in: M. Miles (Hrsg.), *A Companion to Greek Architecture* (Chichester 2016) 15–30
- Mazarakis Ainian 2017** A. Mazarakis Ainian (Hrsg.), *Les sanctuaires archaïques des Cyclades* (Rennes 2017)
- Mitsopoulos-Leon 1991** V. Mitsopoulos-Leon, Die Basilika am Staatsmarkt in Ephesos 1. Keramik hellenistischer und römischer Zeit, *FiE* 9, 2, 2 (Wien 1991)
- Monachov 2003** S. Monachov, *Grečeskie amfory v Pričernomor'e. Tipologija amfor vedušičich tsentrov-eksporterov tovarov v keramičeskoj tare* (Moskau 2003)
- Nenci 2016** N. Nenci, Taking Apollo by the Horns. Reconsidering the Cult(s) of Apollo Karneios in the Mediterranean (Unpubl. Diss. University of Edinburgh 2016)
- Payne 1931** H. Payne, *Necrocorinthia. A Study of Corinthian Art in the Archaic Period* (Oxford 1931)

- Peacock – Williams 1986** D. P. S. Peacock – D. F. Williams, *Amphorae and the Roman Economy. An Introductory Guide* (London 1986)
- Rotroff 1997** S. I. Rotroff, *Hellenistic Pottery. Athenian and Imported Wheelmade Table Ware and Related Material, Agora 29* (Princeton 1997)
- Rotroff 2006** S. I. Rotroff, *Hellenistic Pottery. The Plain Wares, Agora 33* (Princeton 2006)
- Sielhorst 2015** B. Sielhorst, *Hellenistische Agorai. Gestaltung, Rezeption und Semantik eines urbanen Raumes* (Berlin 2015)
- Smetana-Scherrer 1982** R. Smetana-Scherrer, *Spätclassische und hellenistische Keramik*, in: E. Walter-Karydi (Hrsg.), *Alt-Ägina 2, 1* (Mainz 1982) 56–91
- Sparkes – Talcott 1970** B. A. Sparkes – L. Talcott, *Black and Plain Pottery of the 6th, 5th and 4th Centuries B.C., Agora 12* (Princeton 1970)
- Steuernagel 2008** D. Steuernagel, *Griechische Tempel in der Zeit römischer Herrschaft, Altertum 53, 2008*, 153–164
- Steuernagel 2009** D. Steuernagel, *Romanisierung und Hellenismós. Drei Fallstudien zur Gestaltung und Nutzung griechischer Tempel in den römischen Provinzen Achaia und Cyrenaica, JdI 124, 2009*, 279–344
- Steuernagel 2014** D. Steuernagel, *Tradizione in trasformazione. Templi greci come luoghi di memoria tra ellenismo ed età imperiale*, in: F. Fontana – E. Murgia (Hrsg.), *Sacrum facere. Atti del II Seminario di archeologia del sacro. Contaminazioni. Forme di contatto, traduzione e mediazione nei sacra del mondo greco e romano* (Trieste 2014) 107–131
- Thera I** F. Hiller von Gaertringen (Hrsg.), *Thera I. Untersuchungen, Vermessungen und Ausgrabungen in den Jahren 1895–1898. Die Insel Thera in Altertum und Gegenwart. Mit Ausschluss der Nekropolen* (Berlin 1899)
- Thera III** F. Hiller von Gaertringen (Hrsg.), *Thera III. Untersuchungen, Vermessungen und Ausgrabungen in den Jahren 1895–1902. Stadtgeschichte von Thera* (Berlin 1904)
- Thera V** W. Hoepfner (Hrsg.), *Das dorische Thera V. Stadtgeschichte und Kultstätten am nördlichen Stadtrand* (Berlin 1997)
- Weinberg 1943** S. S. Weinberg, *The Geometric and Orientalizing Pottery, Corinth 7, 1* (Cambridge, Mass. 1943)
- Will 1982** E. L. Will, *Greco-Italic Amphorae, Hesperia 51, 1982*, 338–356
- Witschel 1997** Ch. Witschel, *Beobachtungen zur Stadtentwicklung von Thera in hellenistischer und römischer Zeit*, in: *Thera V*, 17–46

ZUSAMMENFASSUNG

Zur Chronologie des antiken Thera

Sondagen am Apollon Karneios-Heiligtum und in der Straße 11

Arno Kose – Benjamin Engels – Monika Trümper

Die antike Stadt Thera wurde zwischen 1896 und 1902 unter der Leitung von Friedrich Hiller von Gaertringen umfassend freigelegt, aber systematische archäologische Untersuchungen zur Erforschung der Stadtgeschichte fanden erst unter der Leitung von Wolfram Hoepfner in den 1990ern statt. Hoepfners Team führte Bauforschungen durch und legte erstmals stratigraphische Sondagen in verschiedenen Bereichen der Stadt an, die aber nicht alle publiziert wurden. Ziel dieses Beitrags ist es, anhand der alten Grabungsdokumentation die Sondagen an zwei Stellen zu publizieren, die exemplarisch Aufschluss über die Entwicklung der Stadt von der archaischen Zeit bis in die römische Kaiserzeit liefern. Die 1994 durchgeführte Sondage am Apollon Karneios-Heiligtum belegt erstmals, dass für den Komplex zwei große Bauphasen zu rekonstruieren sind. Das Heiligtum wurde vermutlich in der archaischen Zeit als Oikos-Tempel mit Vorhof errichtet und in der hellenistischen Zeit um einen großen Hof mit Zisterne und Nebenräumen erweitert. Die 1991 und 1992 angelegten Sondagen in der Straße 11 zeigen, dass diese Straße und ihre Randbebauung nicht vor der hellenistischen Zeit zu datieren sind. In dieser Sondage wurde erstmals eine mächtige Schicht aus Bimssteinen in vollem Umfang freigelegt, die direkt über dem anstehenden Felsen aufgeschüttet wurde und zur Unterfütterung der Straße diente. Solche Nivellierungsschichten aus Bimssteinen wurden seit den frühesten Grabungen an verschiedenen Stellen in der Stadt angetroffen, aber gewöhnlich nicht bis zu ihrer Unterkante ausgegraben und bislang auch nicht systematisch im Hinblick auf ihre Datierung und Funktion ausgewertet. In diesem Beitrag wird abschließend argumentiert, dass selbst punktuelle Untersuchungen wertvolle Ergebnisse und Erkenntnisse liefern und dass solche Sondagen im antiken Thera dringend fortgesetzt werden sollten, um zahlreiche nach wie vor offene Fragen zu klären.

SCHLAGWÖRTER

Thera, Apollon Karneios, Heiligtum, Straße, Sondage, stratigraphische Grabung

ABBILDUNGSNACHWEIS

Titelbild: Monika Trümper 2007

Abb. 1: Thera V, Plan 1; Michael Breuer – Zeya Delamipour – Sabine Hauschultz – Sönke Kruse – Rainer Komp – Wolfram Hoepfner – Ioannis Arvanitis

Abb. 2: Aufnahme 1990: Rainer Komp – Ioannis Arvanitis – Alexis Tsingas; Umzeichnung 1994/2018: Ioannis Arvanitis – Jana Skundrič-Rummel

Abb. 3: Vorzeichnung 2017–2021: Arno Kose; Umzeichnung 2018–2022: Jana Skundrič-Rummel – Monika Trümper

Abb. 4: © FU-Projekt, 1991

Abb. 5: © FU-Projekt, 1991

Abb. 6: Vorzeichnung 2017–2021: Arno Kose; Umzeichnung 2018–2022: Jana Skundrič-Rummel

Abb. 7: Vorzeichnung 2017–2021: Arno Kose; Umzeichnung 2018–2022: Jana Skundrič-Rummel – Monika Trümper

Abb. 8: © DAI Athen, Thera Neg. Nr. 75; 1898

Abb. 9: © FU-Projekt, 1987

Abb. 10: © FU-Projekt, 1991

Abb. 11: © FU-Projekt, 1991

Abb. 12: Rainer Komp; © FU-Projekt, 1994

Abb. 13: Rainer Komp; © FU-Projekt, 1994

Abb. 14: Aufnahme: Rainer Komp 1994; Umzeichnung 2018–2022: Arno Kose – Jana Skundrič-Rummel – Monika Trümper

Abb. 15: Aufnahme: Rainer Komp 1994; Umzeichnung 2018–2022: Arno Kose – Jana Skundrič-Rummel – Monika Trümper

Abb. 16: Vorzeichnung 2017–2021: Arno Kose; Umzeichnung 2018–2022: Jana Skundrič-Rummel – Monika Trümper

Abb. 17: Vorzeichnung 2017–2021: Arno Kose; Umzeichnung 2018–2022: Jana Skundrič-Rummel – Monika Trümper

Abb. 18: © FU Projekt, 1994

Abb. 19: Monika Trümper 2007

Abb. 20: Aufnahme: Wolfram Hoepfner; Umzeichnung 2018–2022: Arno Kose – Jana Skundrič-Rummel

Abb. 21: © FU-Projekt, 1991

Abb. 22: © FU-Projekt, 1991

Abb. 23: © FU-Projekt, 1991

Abb. 24: Aufnahme: Wolfram Hoepfner 1991; Umzeichnung 2018–2022: Arno Kose – Jana Skundrič-Rummel – Monika Trümper

Abb. 25: Aufnahme: Wolfram Hoepfner 1992; Umzeichnung 2018–2022: Arno Kose – Jana Skundrič-Rummel – Monika Trümper

Abb. 26: © FU-Projekt, 1992

Abb. 27: Vorzeichnung 2017–2021: Arno Kose;
Umzeichnung 2018–2022: Jana Skundrič-Rummel

Abb. 28: Vorzeichnung 2017–2021: Arno Kose;
Umzeichnung 2018–2022: Jana Skundrič-Rummel

Abb. 29: Benjamin Engels, 2018–2022

Abb. 30: Benjamin Engels, 2018–2022

Abb. 31: Benjamin Engels, 2018–2022

AUTOREN DATEN

Dr. Arno Kose
Holsteinische Straße 57
10717 Berlin
Deutschland
arno.kose@freenet.de
ORCID ID: <https://orcid.org/0000-0003-2601-8877>

Dr. Benjamin Engels
Institut für Archäologische Wissenschaften,
Abteilung für Klassische Archäologie, Albert-
Ludwigs-Universität Freiburg im Breisgau
Friedrichstr. 39
79098 Freiburg i. Br.
Deutschland
benjamin.engels@archaeologie.uni-freiburg.de
ORCID ID: <https://orcid.org/0000-0003-0468-9776>
ROR ID: <https://ror.org/0245cg223>

Prof. Dr. Monika Trümper
Institut für Klassische Archäologie, Freie
Universität Berlin
Fabeckstr. 23–25
14195 Berlin
Deutschland
monika.truemper@fu-berlin.de
ORCID ID: <https://orcid.org/0000-0003-4524-6242>
ROR ID: <https://ror.org/046ak2485>

METADATA

Titel/*Title*: Zur Chronologie des antiken Thera.
Sondagen am Apollon Karneios-Heiligtum und in
der Straße 11/*On the Chronology of Ancient Thera.
Trenches at the Sanctuary Apollon Karneios and in
Street 11*

Band/*Issue*: AA 2023/1

Bitte zitieren Sie diesen Beitrag folgenderweise/
Please cite the article as follows: A. Kose – B. Engels
– M. Trümper, Zur Chronologie des antiken Thera.
Sondagen am Apollon Karneios-Heiligtum und
in der Straße 11, AA 2023/1, § 1–68, [https://doi.
org/10.34780/394w-yxd5](https://doi.org/10.34780/394w-yxd5)

Copyright: Alle Rechte vorbehalten/*All rights
reserved*.

Online veröffentlicht am/*Online published on*:
15.11.2023

DOI: <https://doi.org/10.34780/394w-yxd5>

Schlagwörter/*Keywords*: Thera, Apollon Karneios,
Heiligtum, Straße, Sondage, stratigraphische
Grabung/*Thera, Apollo Karneios, sanctuary, street,
trenches, stratigraphic excavation*

Bibliographischer Datensatz/*Bibliographic
reference*: [https://zenon.dainst.org/
Record/003050323](https://zenon.dainst.org/Record/003050323)